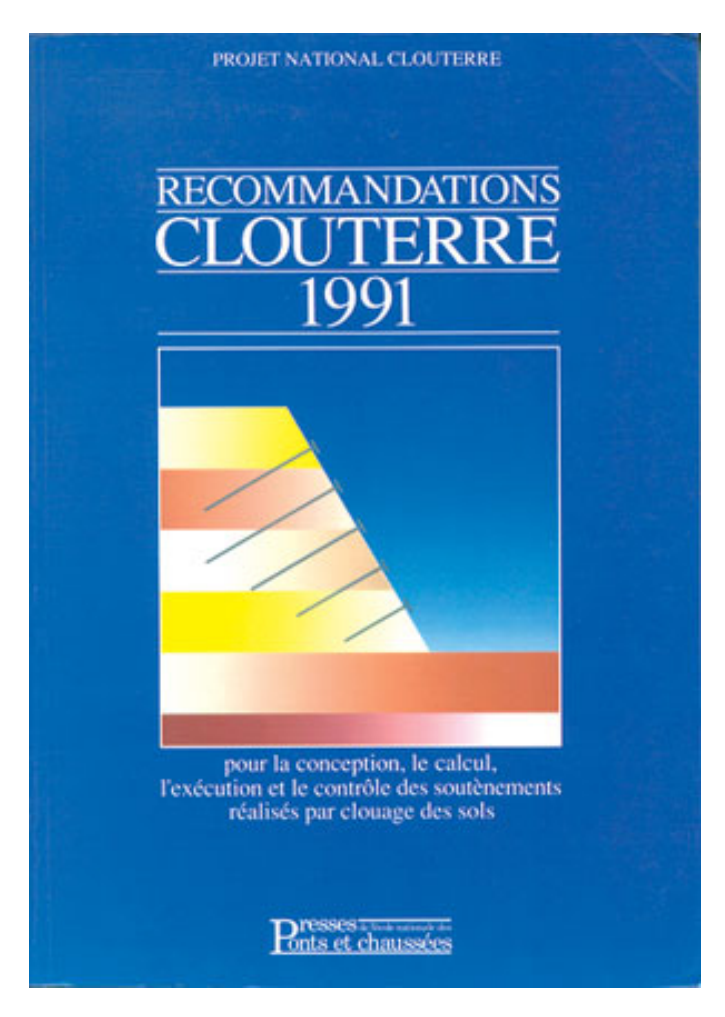
Applications du calcul à la rupture utiles au géotechnicien....

Bruno Simon (Terrasol)



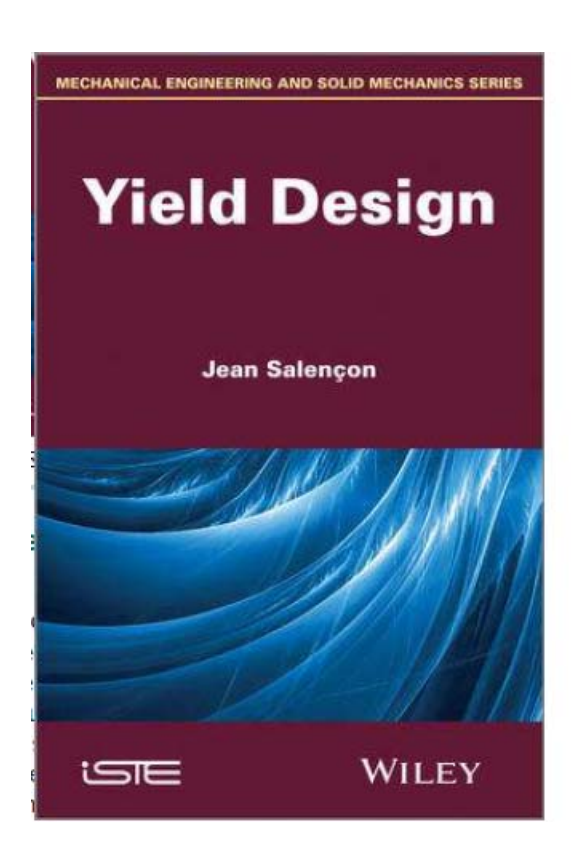


... pour dimensionner les massifs en sol cloué



Méthode du calcul à la rupture

- Théorie générale (J. Salençon, 1983) d'évaluation de la charge de rupture d'un système mécanique
 - Approche statique :
 - → charge de rupture par défaut
 - Approche cinématique
 - → charge de rupture par excès

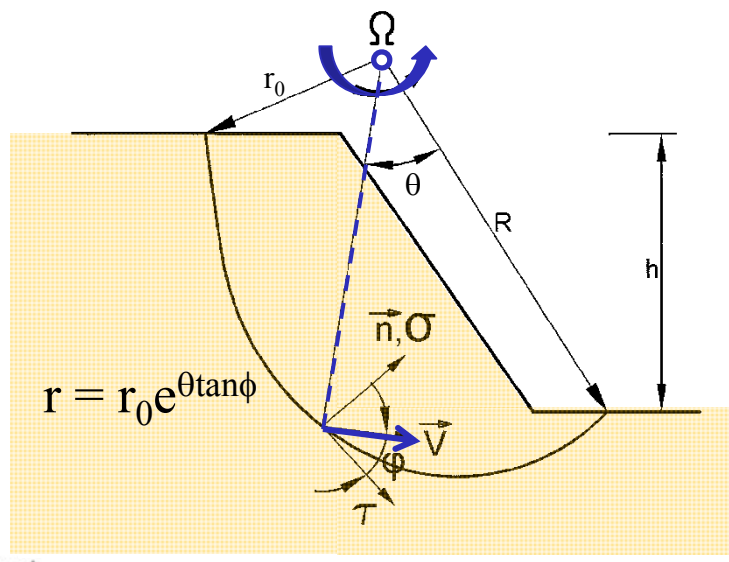


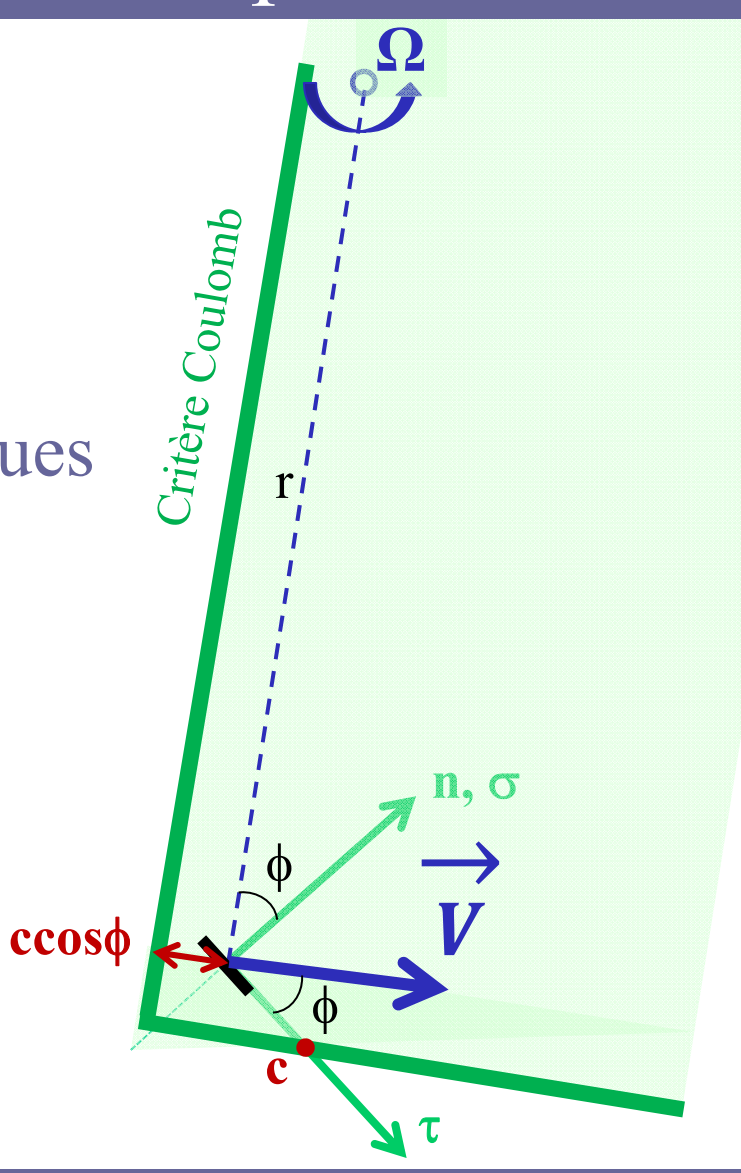


Méthode du calcul à la rupture

Cas particulier

- Critère de Mohr Coulomb
- Mouvement de blocs rigides
- Arcs de spirales logarithmiques







Trois applications aux sols cloués

- Appliquer correctement le multicritère
- Intégrer l'influence de la fondation
- Evaluer les efforts au parement

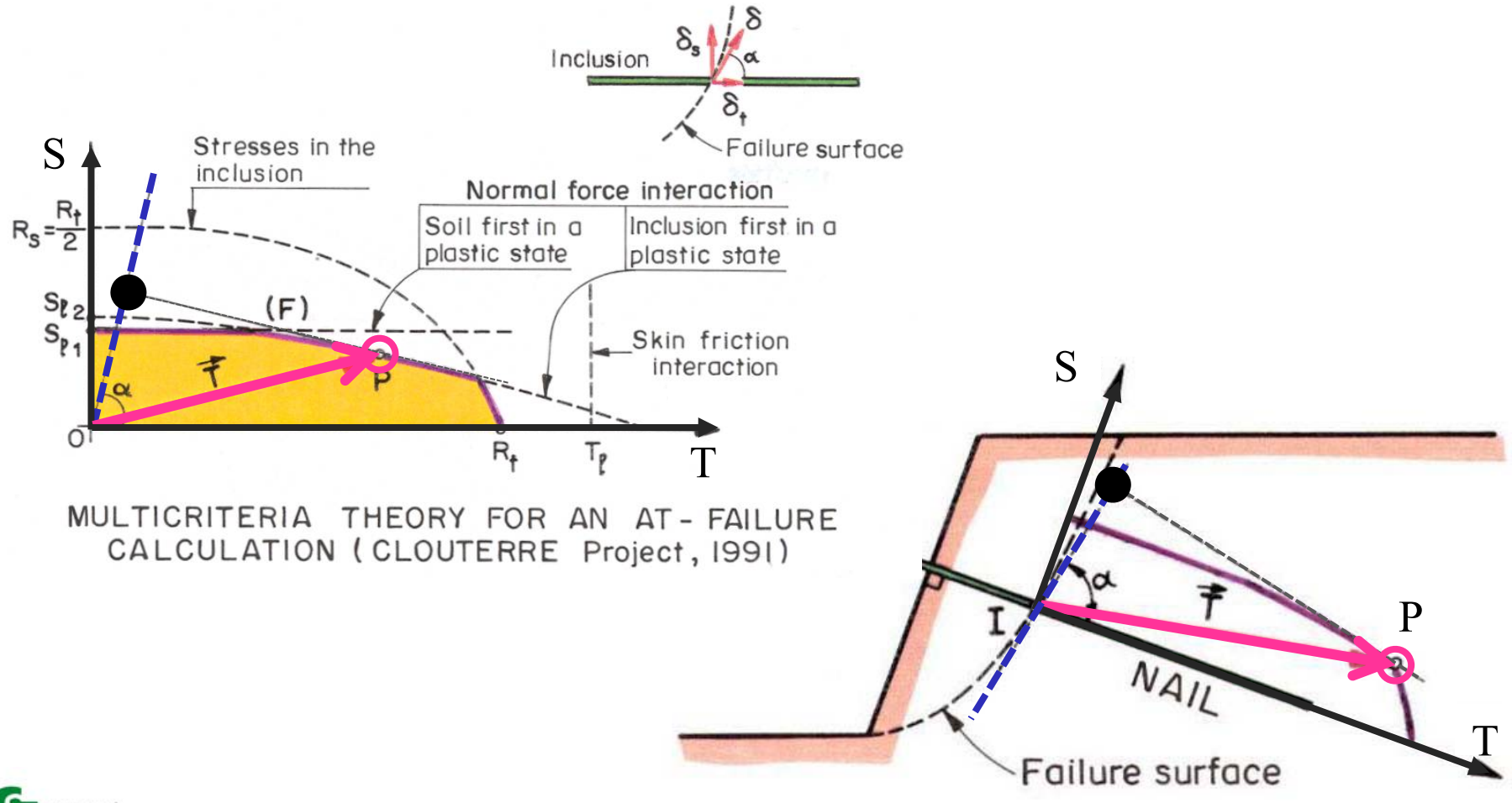


Trois applications aux sols cloués

- Appliquer correctement le multicritère
- Intégrer l'influence de la fondation
- Evaluer les efforts au parement

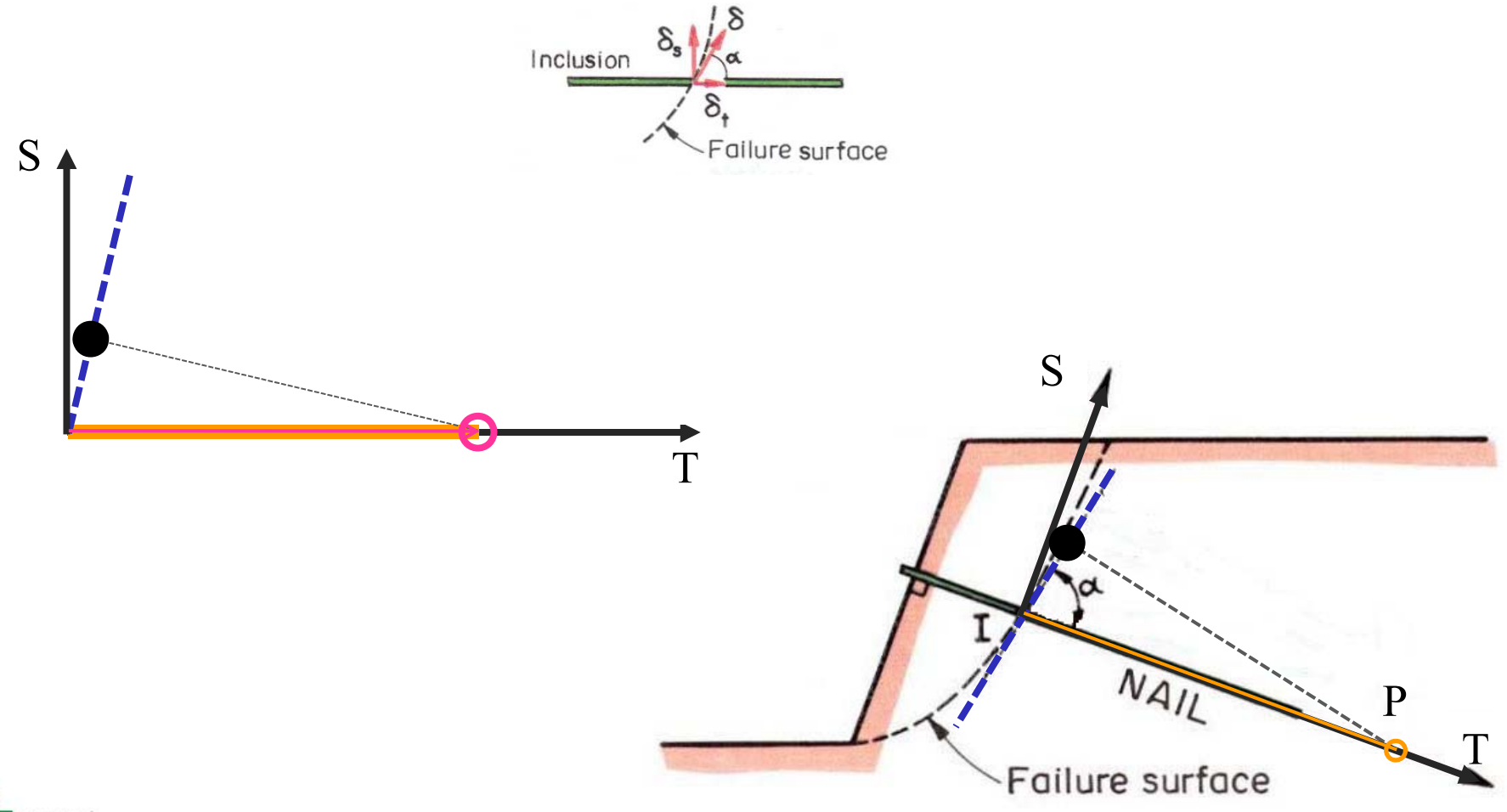


• Clou sollicité en traction et cisaillement



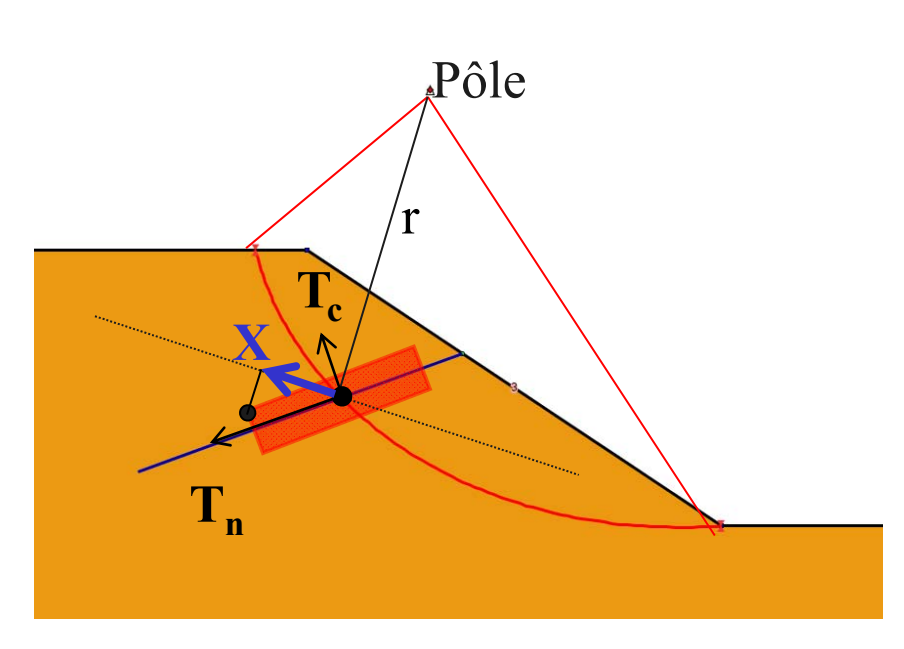


• Clou sollicité en traction seule





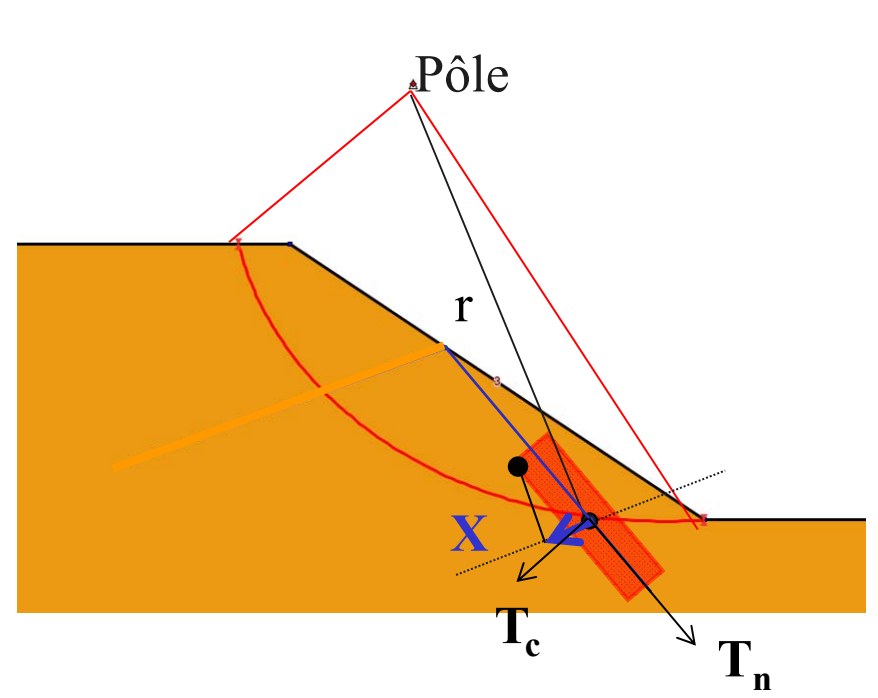
• Approche cinématique du calcul à la rupture



$$F = \frac{M_{rm}}{M_e}$$

- M_{rm} majorant du moment résistant
 - cohésion
 - éléments passifs de renforcement, $\Delta M_{rm} = \Sigma (Xr)...$
- M_e moment des actions extérieures

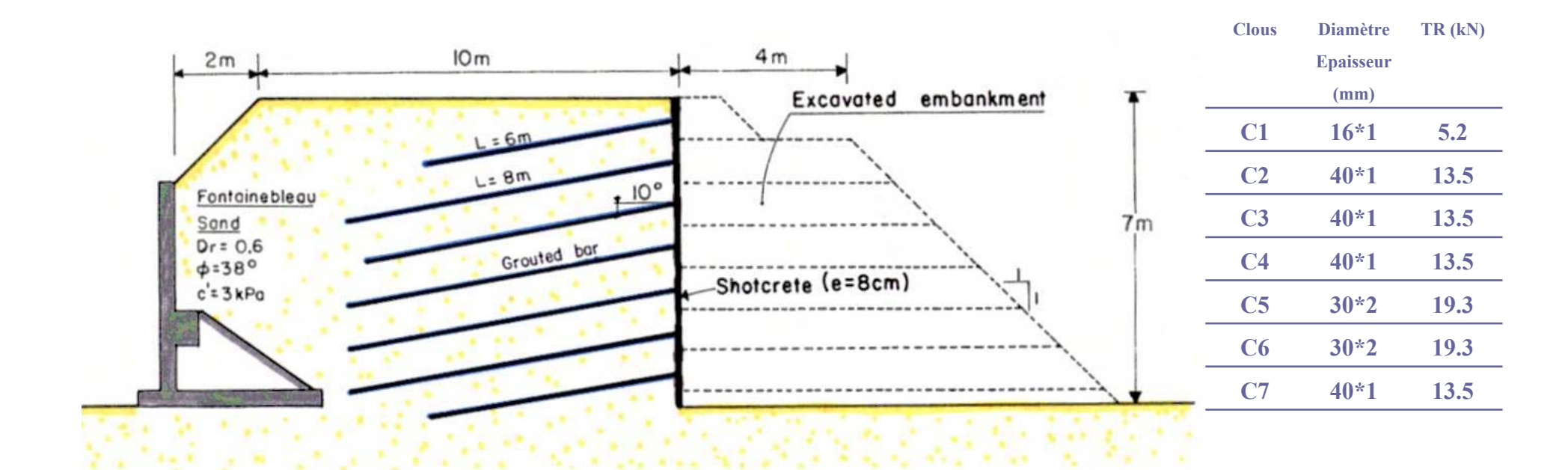
• Approche cinématique du calcul à la rupture



$$F = \frac{M_{rm}}{M_e}$$

- M_{rm} majorant du moment résistant
 - cohésion
 - éléments passifs de renforcement, $\Delta M_{rm} = \Sigma (Xr)...$
- M_e moment des actions extérieures

Mur expérimental Clouterre 1



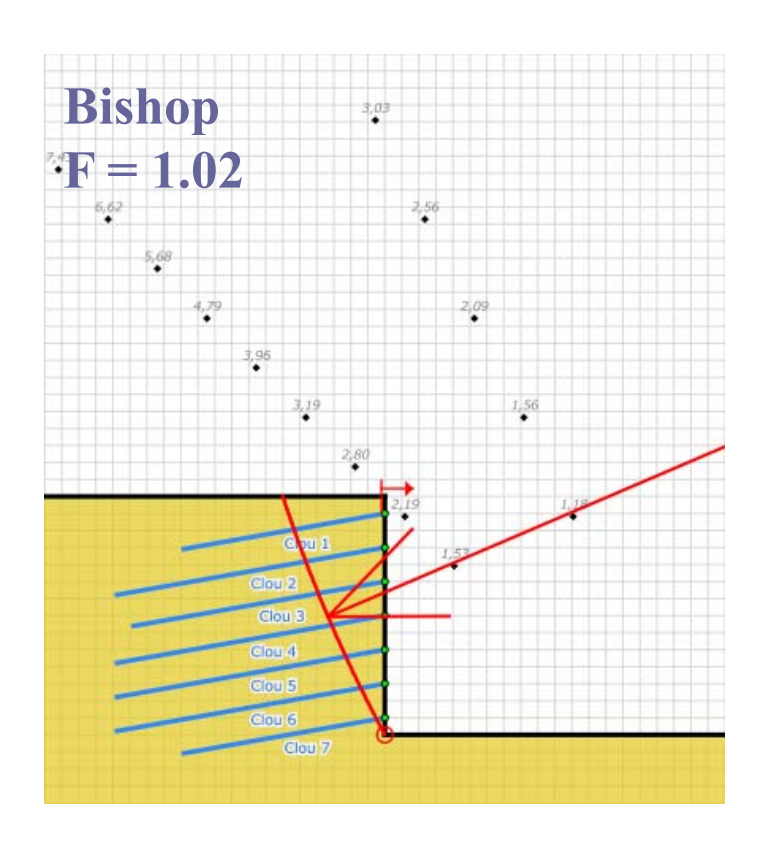


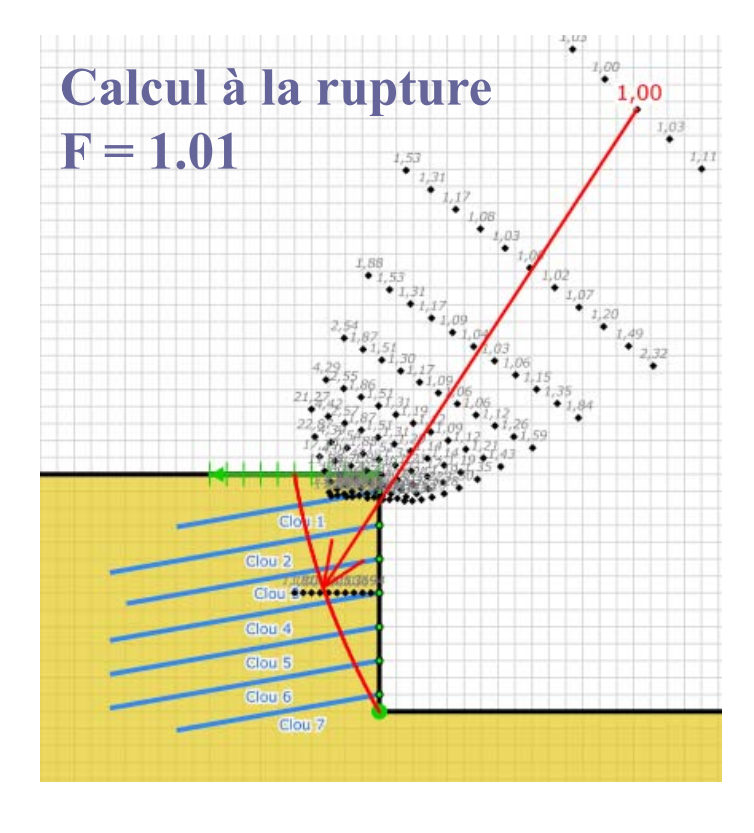
• Mur expérimental Clouterre 1





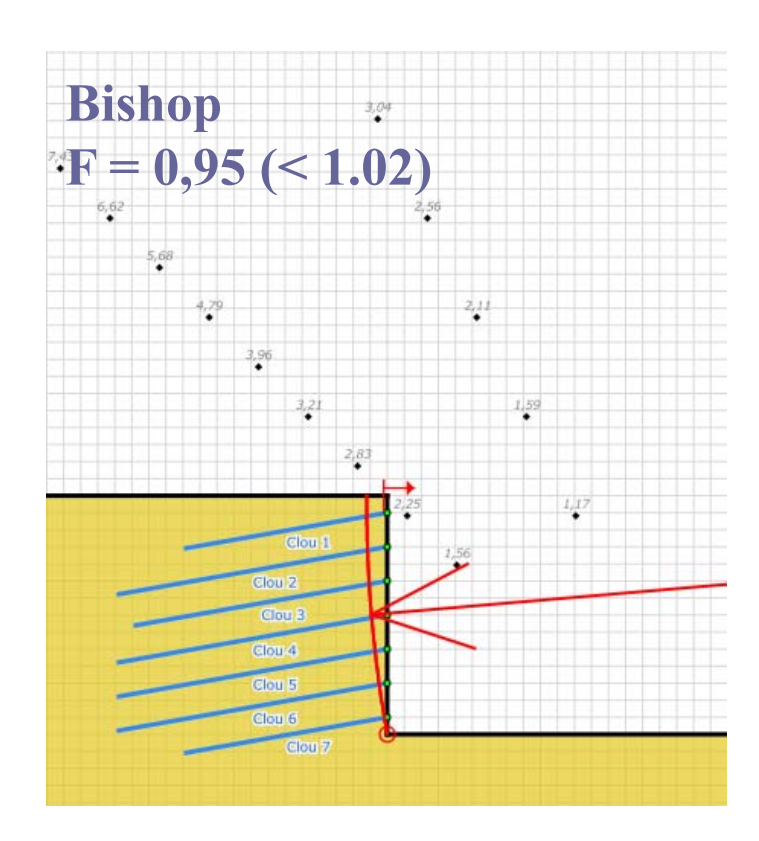
- Mur expérimental Clouterre 1 (état sec initial)
 - Calcul avec effort axial seul (T_n)

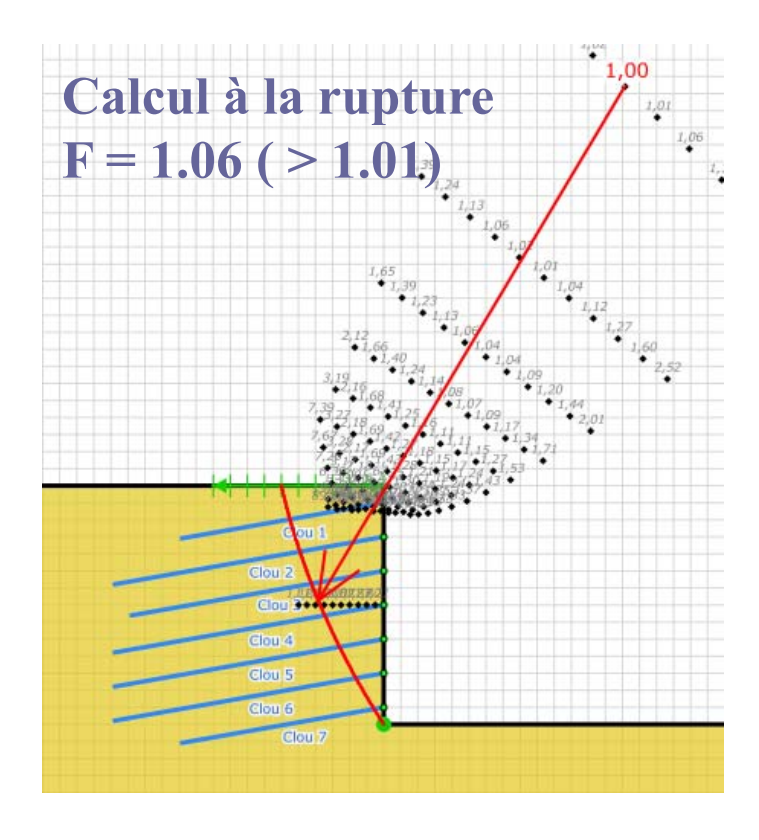






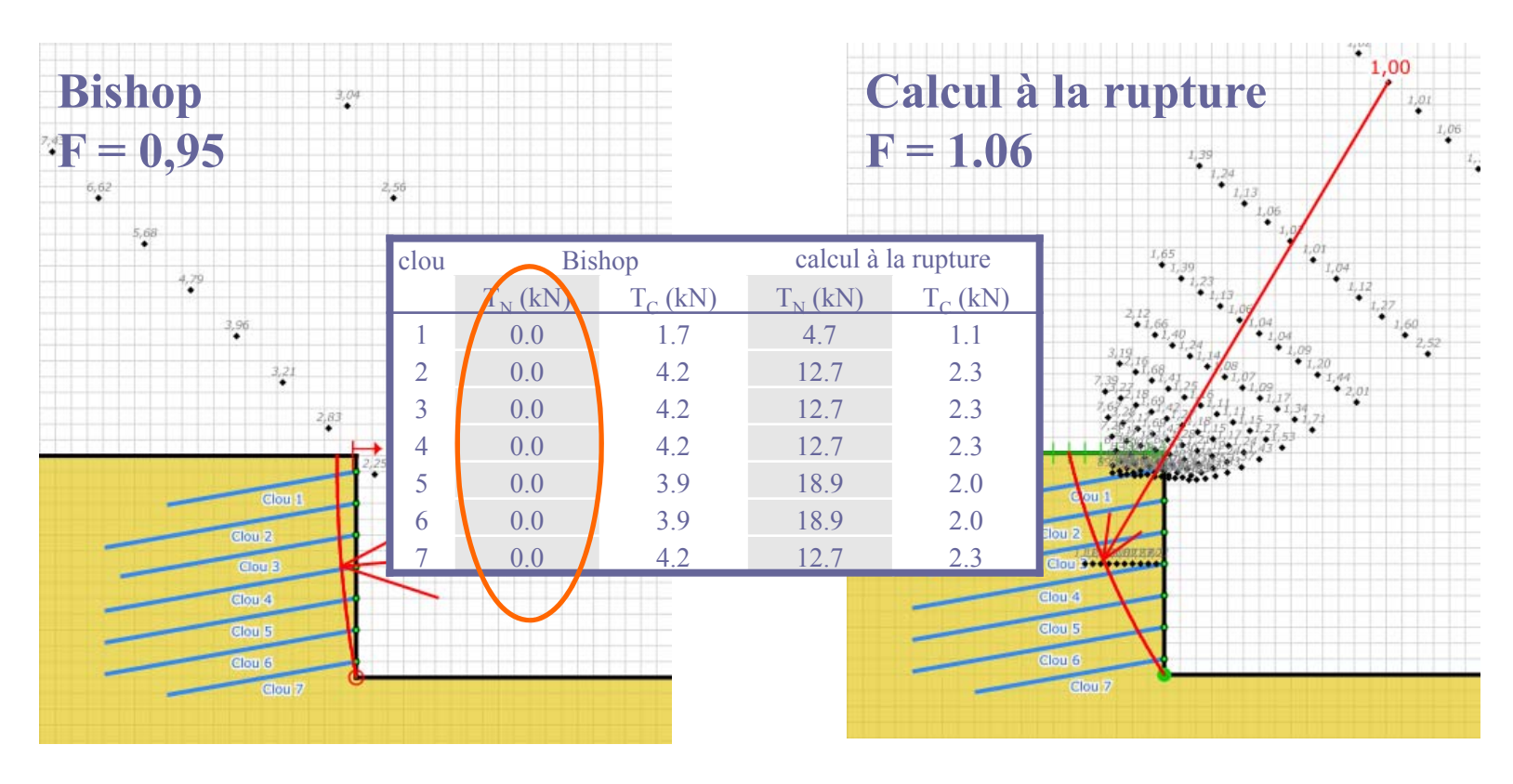
- Mur expérimental Clouterre 1 (état sec initial)
 - Calcul avec effort axial et effort tranchant $(T_n + T_c)$





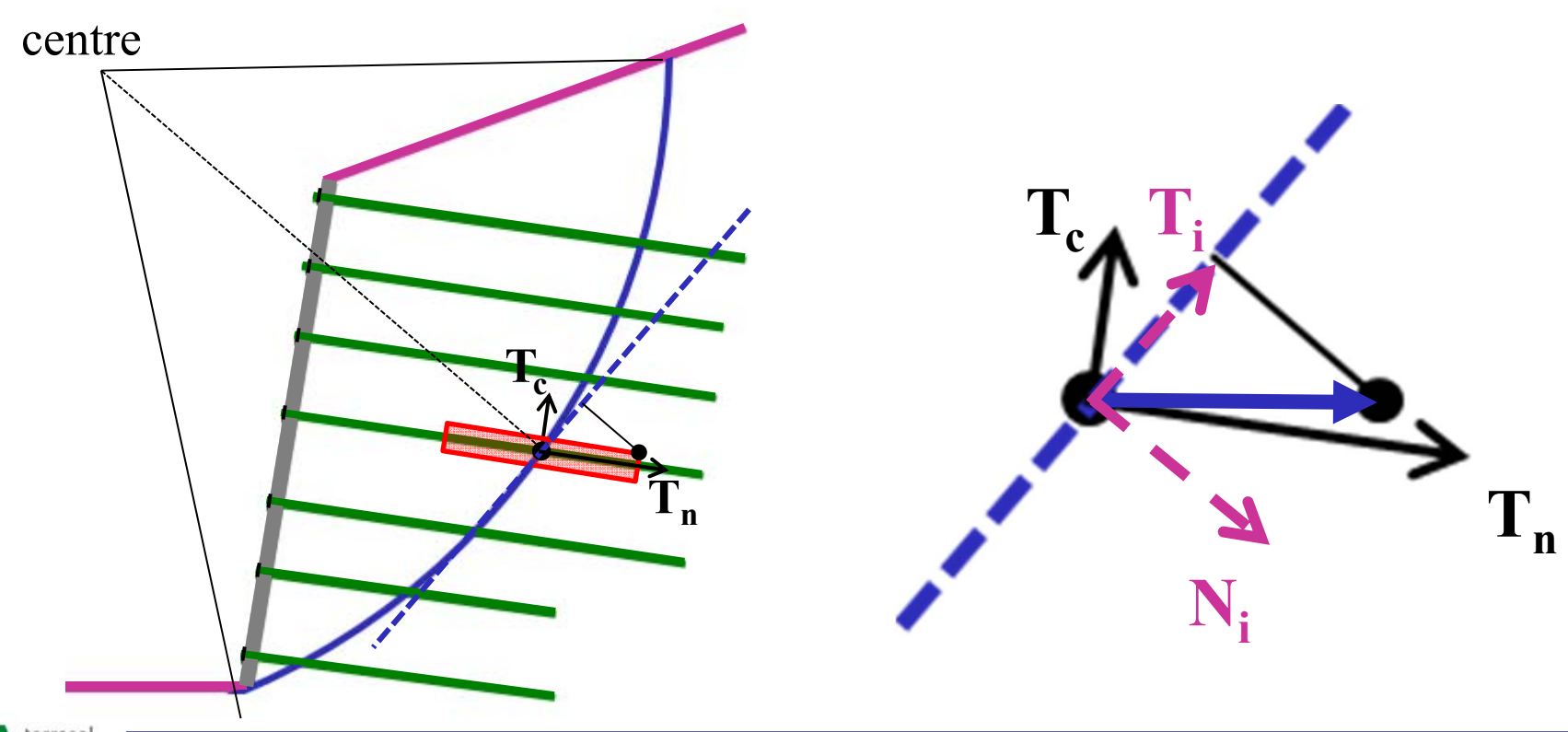


- Mur expérimental Clouterre 1 (état sec initial)
 - Calcul avec effort axial et effort tranchant $(T_n + T_c)$



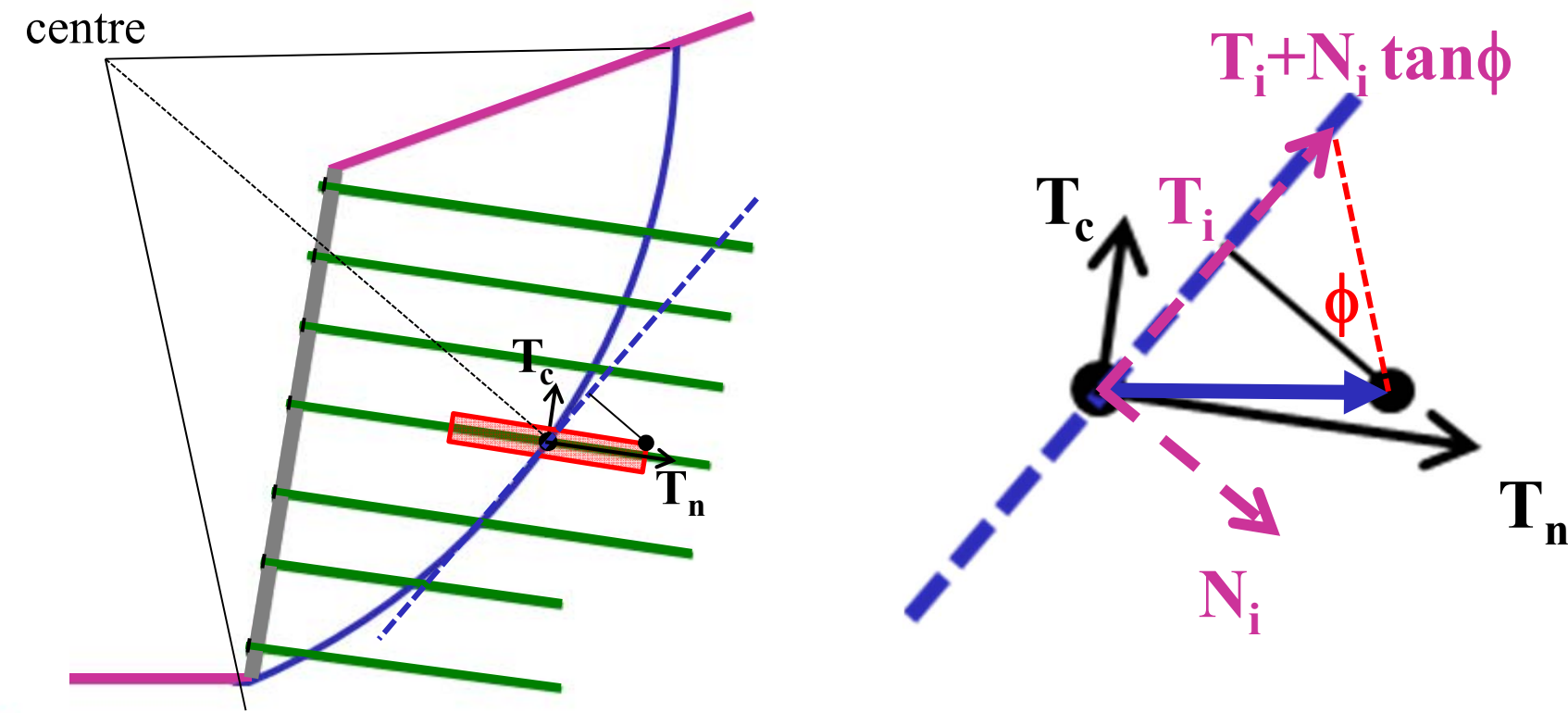


- Méthode des tranches
 - Moment moteur diminué par T_i



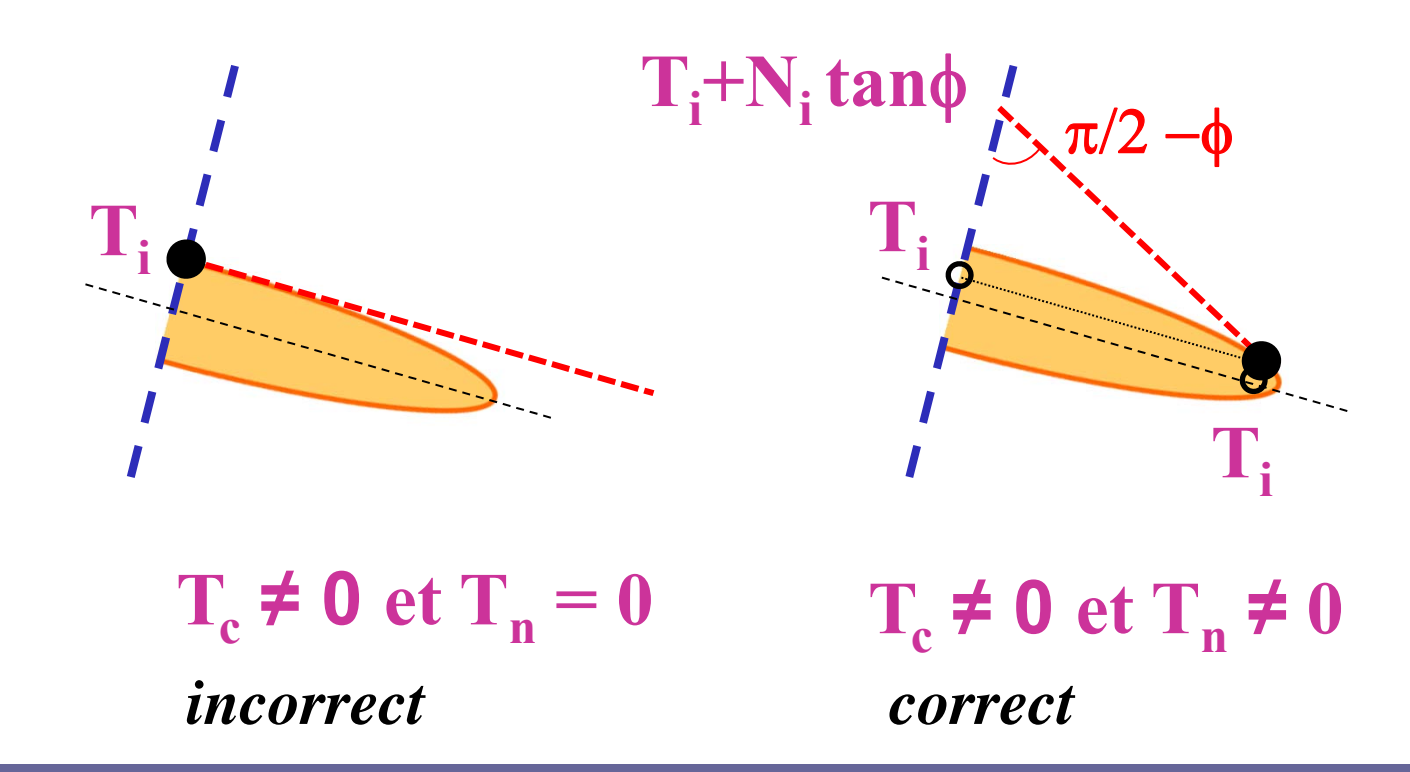
Méthode des tranches

- Moment moteur diminué par T_i
- Moment résistant augmenté par N_i tan φ



Méthode des tranches

 cas particulier des clous quasi perpendiculaires à la surface de rupture





• Mur expérimental Clouterre 1 (selon saturation)

Calcul à la rupture

Non saturé

$$- \gamma = 16.1 \text{ kN/m}^3$$

$$- \phi' = 38^{\circ}$$

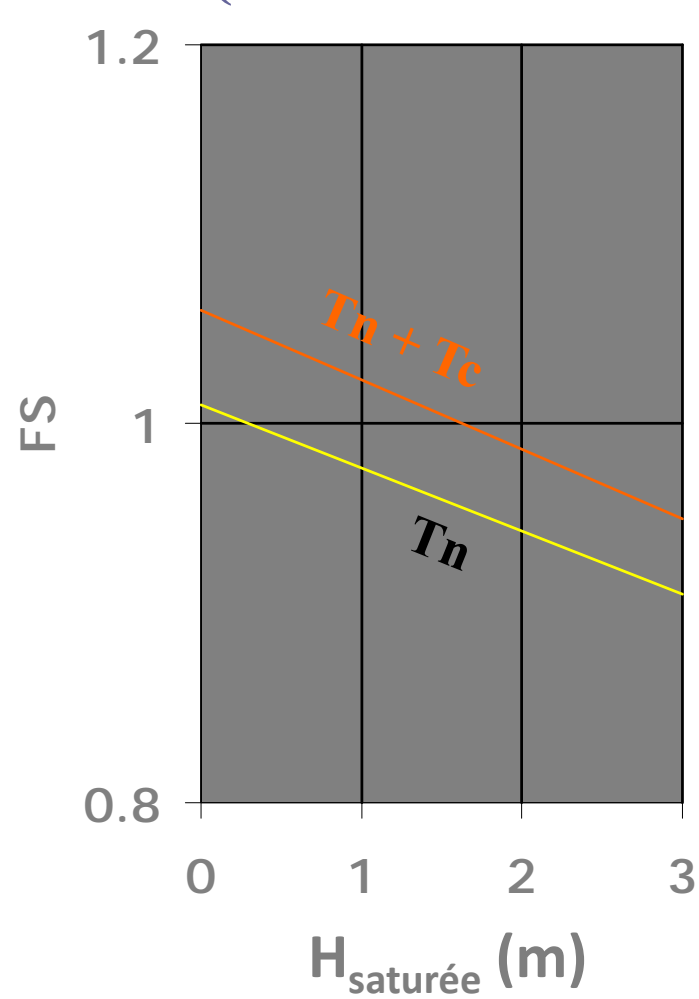
$$- c' = 3 \text{ kPa}$$

Saturé

$$- \gamma = 19.5 \text{ kN/m}^3$$

$$- \phi' = 38^{\circ}$$

$$- c' = 0 \text{ kPa}$$



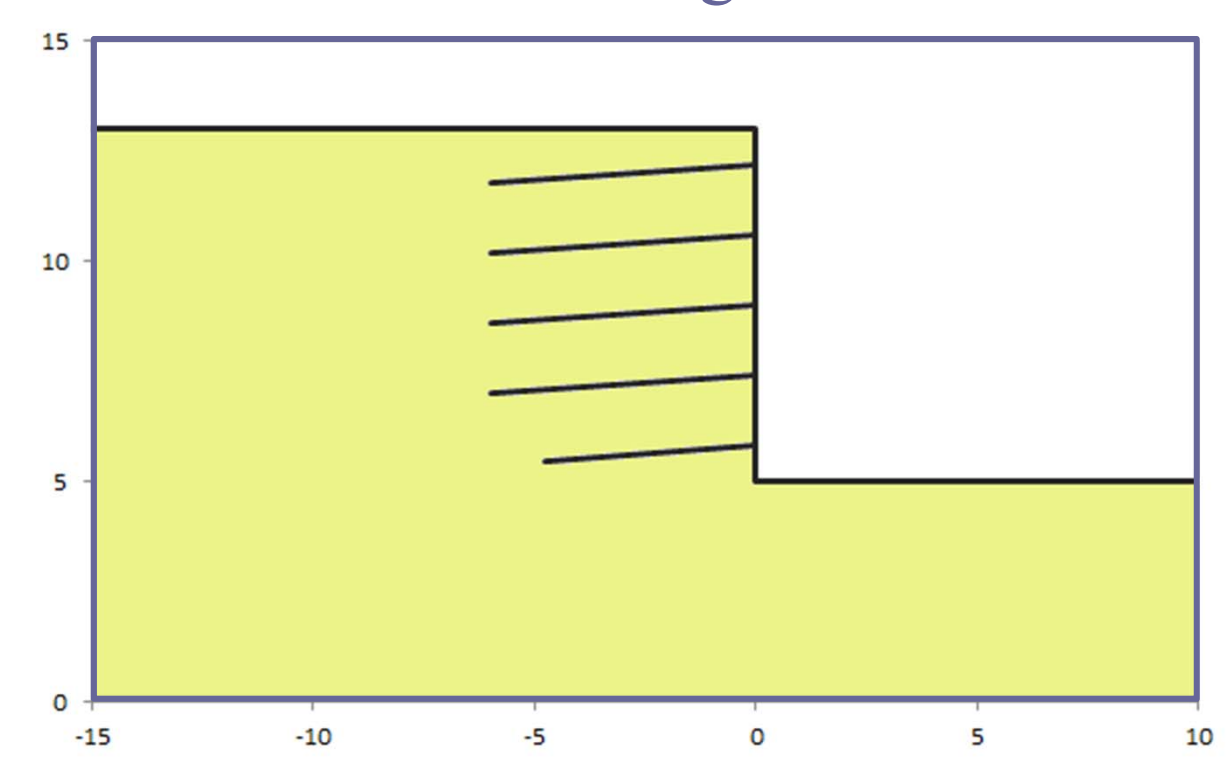


Trois applications aux sols cloués

- Appliquer correctement le multicritère
- · Intégrer l'influence de la fondation
- Evaluer les efforts au parement



- Exemple simple (massif homogène, sans nappe)
 - calcul d'un bloc rigide

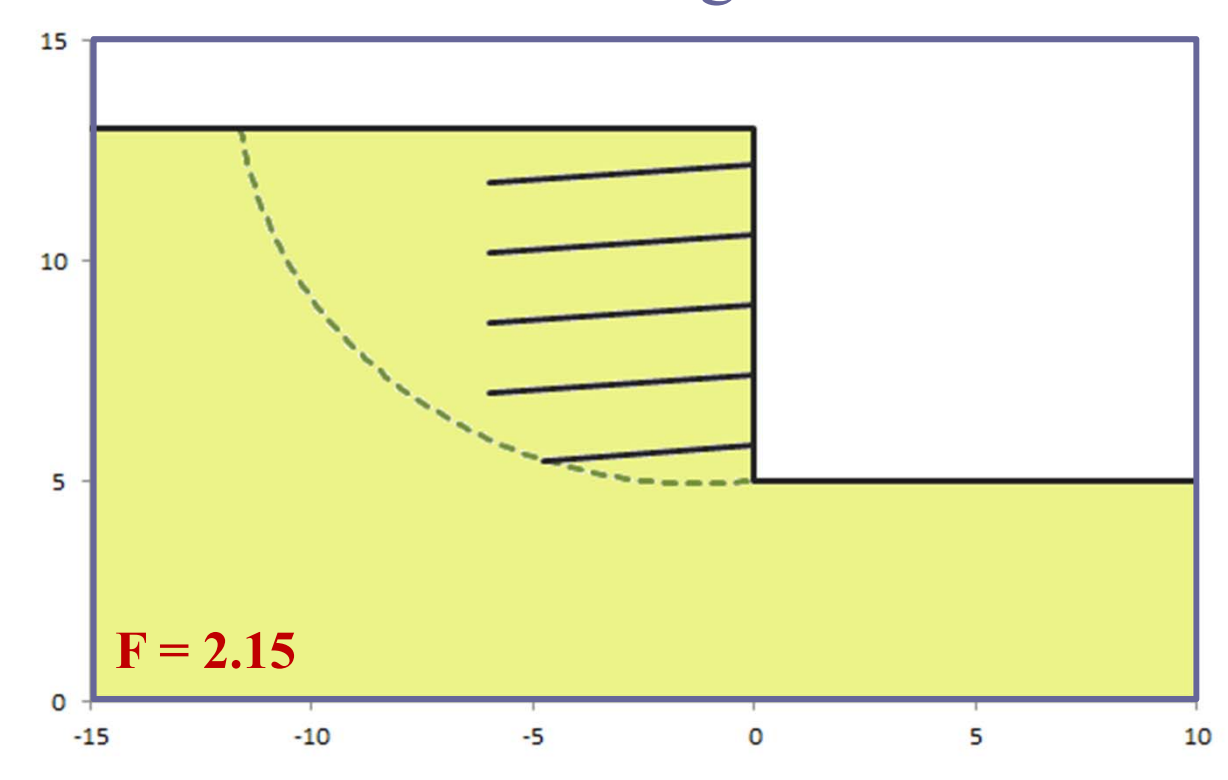


Sol

- $\phi = 33^{\circ}$
- c = 4 kPa
- $\gamma = 20 \text{ kN/m}^3$

- $\bullet \quad N_{\text{max}} = 402 \text{ kN}$
- Forage 120 mm
- $\alpha = 4^{\circ}$
- $S_h = 2.9 \text{ m}$

- Exemple simple (massif homogène, sans nappe)
 - calcul d'un bloc rigide

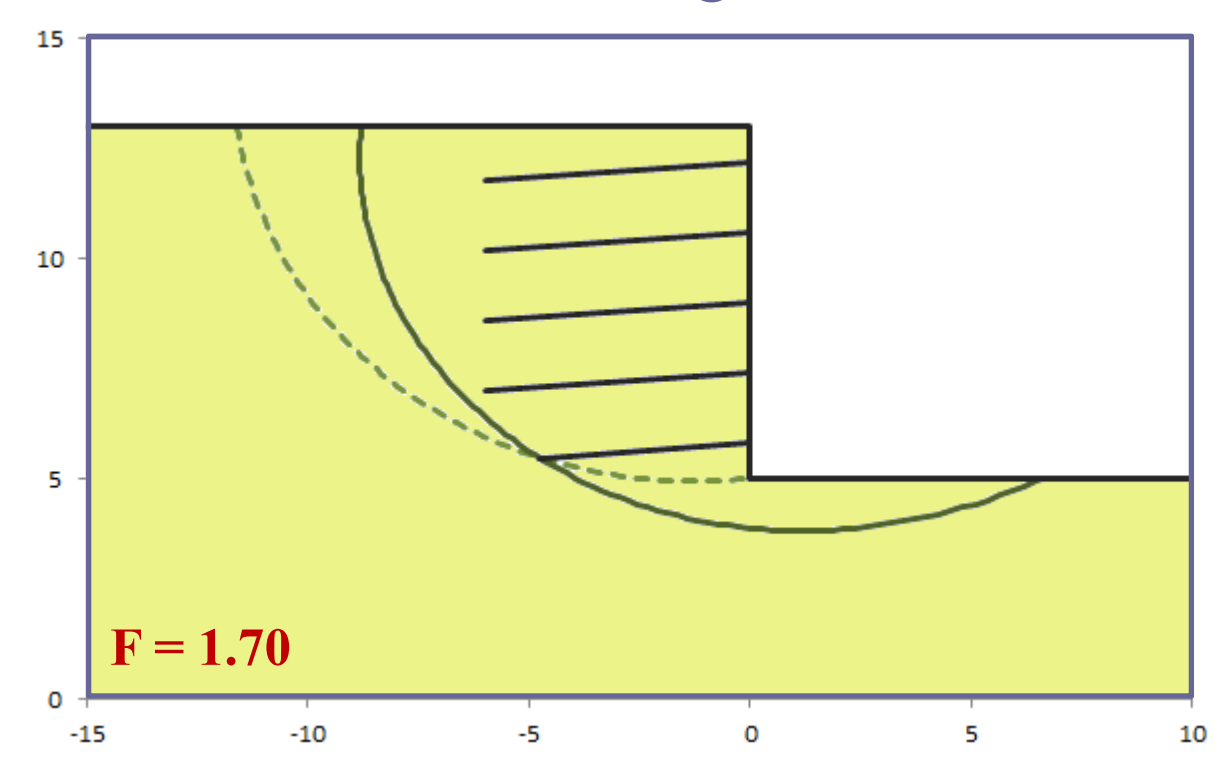


Sol

- $\phi = 33^{\circ}$
- c = 4 kPa
- $\gamma = 20 \text{ kN/m}^3$

- $N_{max} = 402 \text{ kN}$
- Forage 120 mm
- $\alpha = 4^{\circ}$
- $S_h = 2.9 \text{ m}$

- Exemple simple (massif homogène, sans nappe)
 - calcul d'un bloc rigide

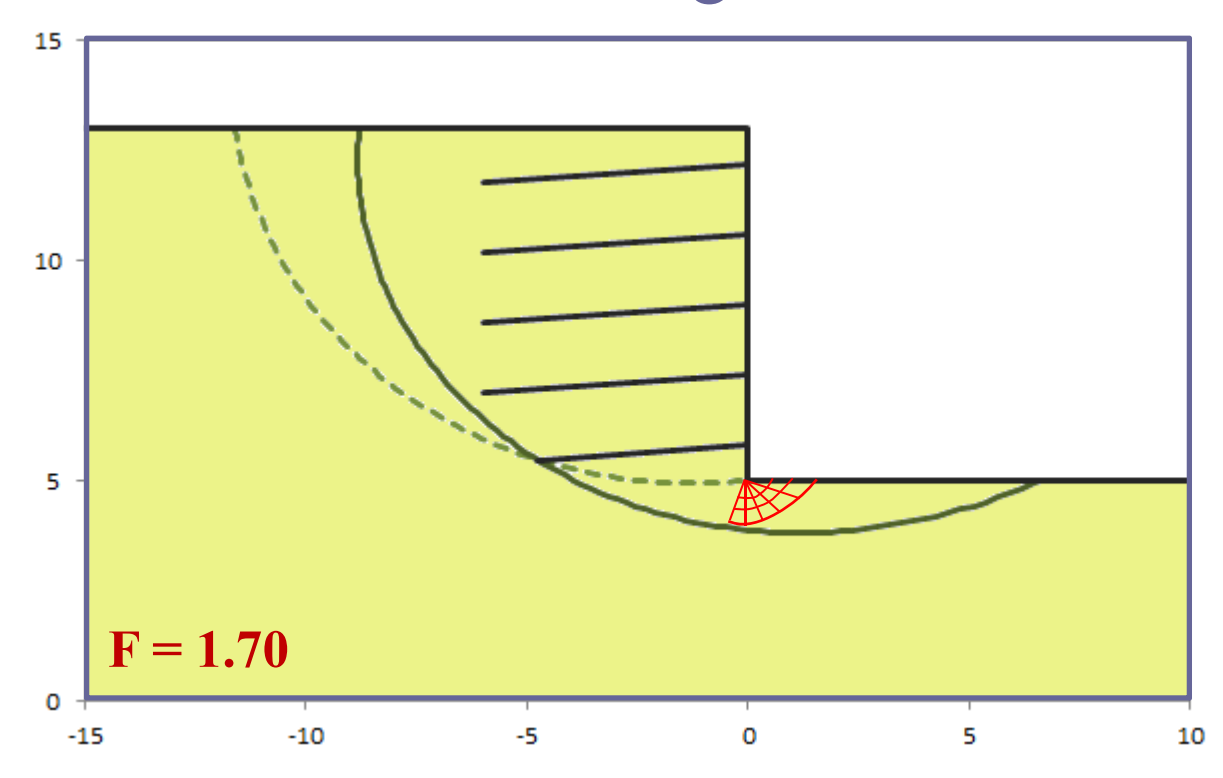


Sol

- $\phi = 33^{\circ}$
- c = 4 kPa
- $\gamma = 20 \text{ kN/m}^3$

- $N_{\text{max}} = 402 \text{ kN}$
- Forage 120 mm
- $\alpha = 4^{\circ}$
- $S_h = 2.9 \text{ m}$

- Exemple simple (massif homogène, sans nappe)
 - calcul d'un bloc rigide / validité ?

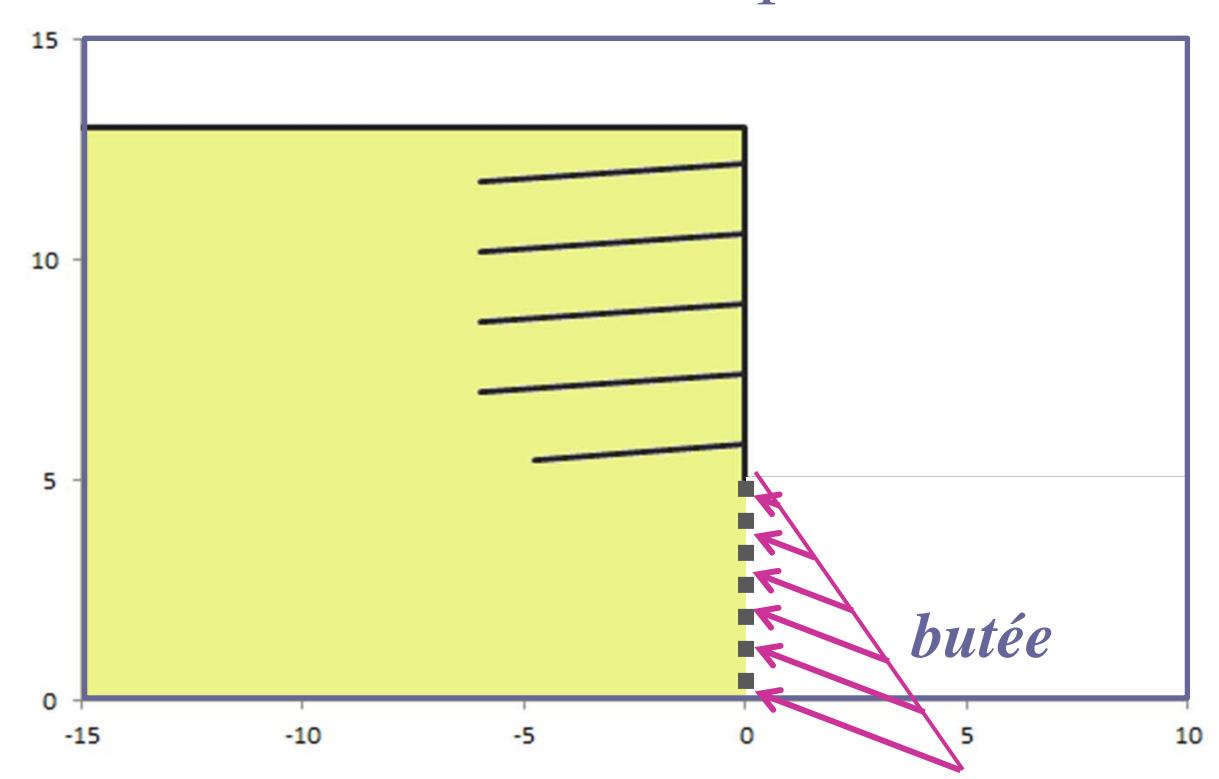


Sol

- $\phi = 33^{\circ}$
- c = 4 kPa
- $\gamma = 20 \text{ kN/m}^3$

- $N_{max} = 402 \text{ kN}$
- Forage 120 mm
- $\alpha = 4^{\circ}$
- $S_h = 2.9 \text{ m}$

- Approche simplifiée (norme NF P 94 270)
 - Butée limite dans le plan vertical sous le parement





Caquot-Kerisel

$$-q(\phi^*, \delta)$$

$$q_h = k_{ph} \sigma'_v + (k_{qh} - 1) \frac{c^*}{\tan \varphi^*}$$

$$q_v = k_{pv} \sigma'_v + k_{qv} \frac{c^*}{\tan \varphi^*}$$

$$\frac{\delta}{\varphi} = -1$$

$$v = \frac{\tan \varphi}{\tan \varphi^*} = \frac{c}{c^*}$$

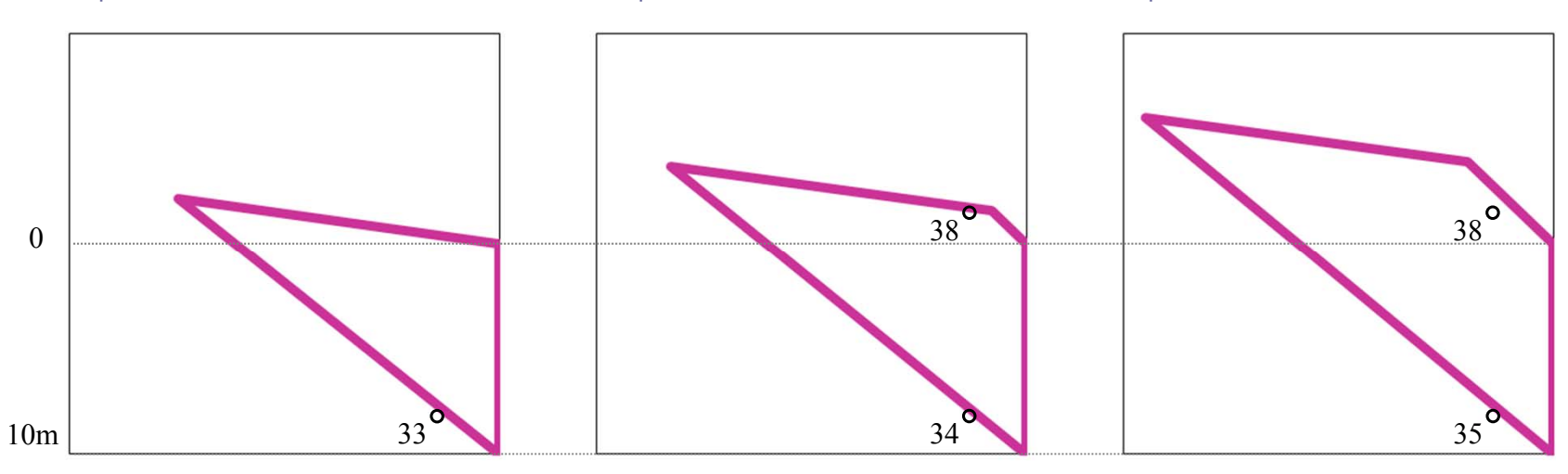
$$\frac{\delta}{\varphi} = -1$$

avec
$$\begin{cases} F = \frac{\tan \varphi}{\tan \varphi^*} = \frac{c}{c^*} \\ \frac{\delta}{\varphi} = -1 \end{cases}$$

$$\phi' = 33^{\circ} c' = 0$$
 (F = 1)

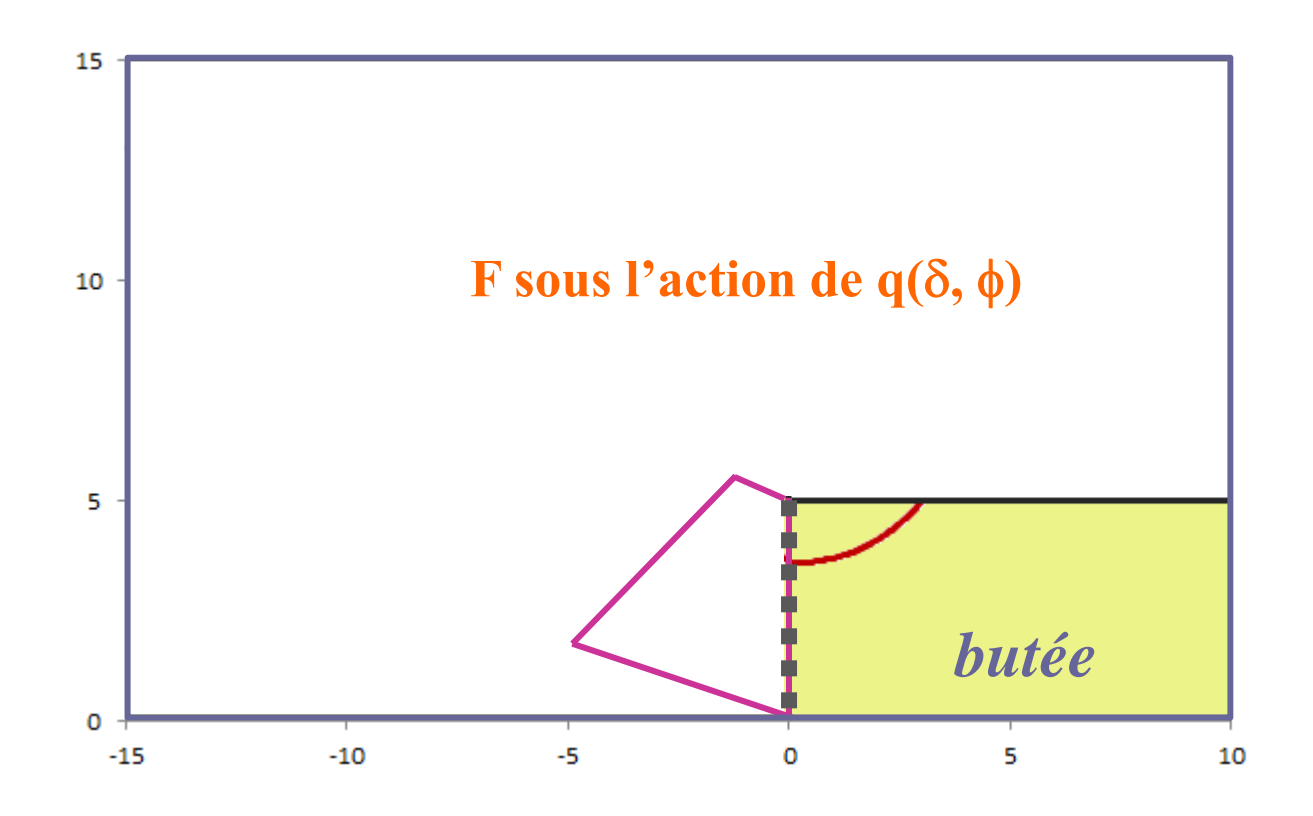
$$\phi' = 33^{\circ} c' = 0$$
 (F = 1) $\phi' = 33^{\circ} c' = 20$ kPa (F = 1) $\phi' = 33^{\circ} c' = 50$ kPa (F = 1)

$$\phi' = 33^{\circ} \text{ c'} = 50 \text{ kPa } (F = 1)$$





calcul à rupture





Caquot-Kerisel

calcul à rupture

$$-q(\phi, \delta)$$

$$q_{h} = k_{ph} \sigma'_{v} + (k_{qh} - 1) \frac{c *}{tan \varphi *}$$

$$q_{v} = k_{pv} \sigma'_{v} + k_{qv} \frac{c *}{tan \varphi *}$$

$$\frac{\delta}{\varphi} = -1$$

$$v = \frac{tan \varphi}{tan \varphi} = \frac{c}{c^{*}}$$

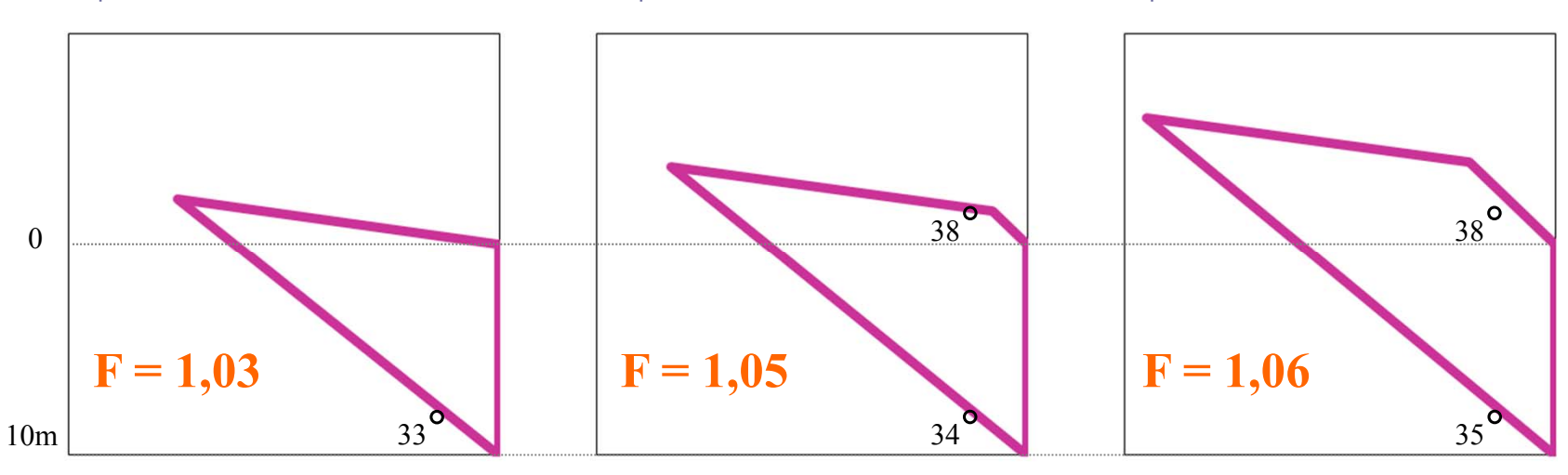
$$\frac{\delta}{\varphi} = -1$$

avec
$$\begin{cases} F = \frac{tan\varphi}{tan\varphi^*} = \frac{c}{c^*} \\ \frac{\delta}{\varphi} = -1 \end{cases}$$

$$\phi' = 33^{\circ} c' = 0$$
 (F = 1)

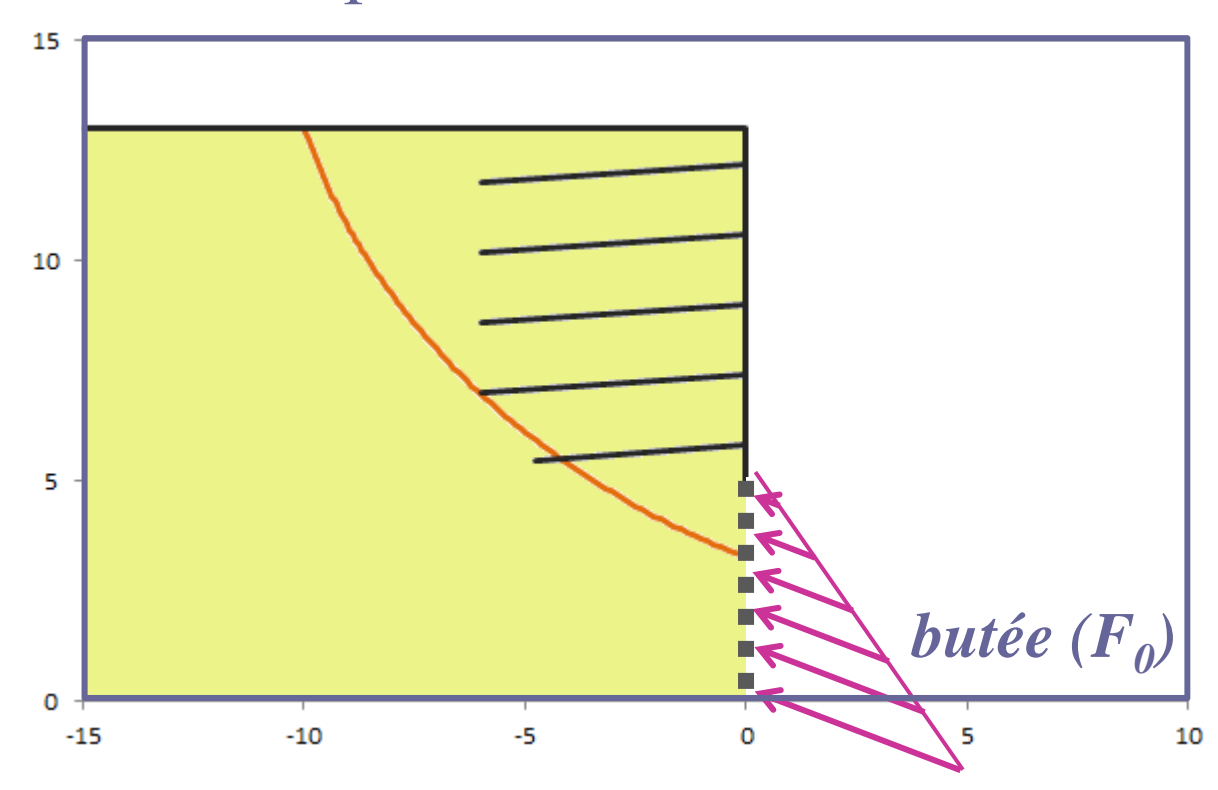
$$\phi' = 33^{\circ} \text{ c'} = 20 \text{ kPa } (F = 1)$$

$$\phi' = 33^{\circ} c' = 0$$
 (F = 1) $\phi' = 33^{\circ} c' = 20$ kPa (F = 1) $\phi' = 33^{\circ} c' = 50$ kPa (F = 1)



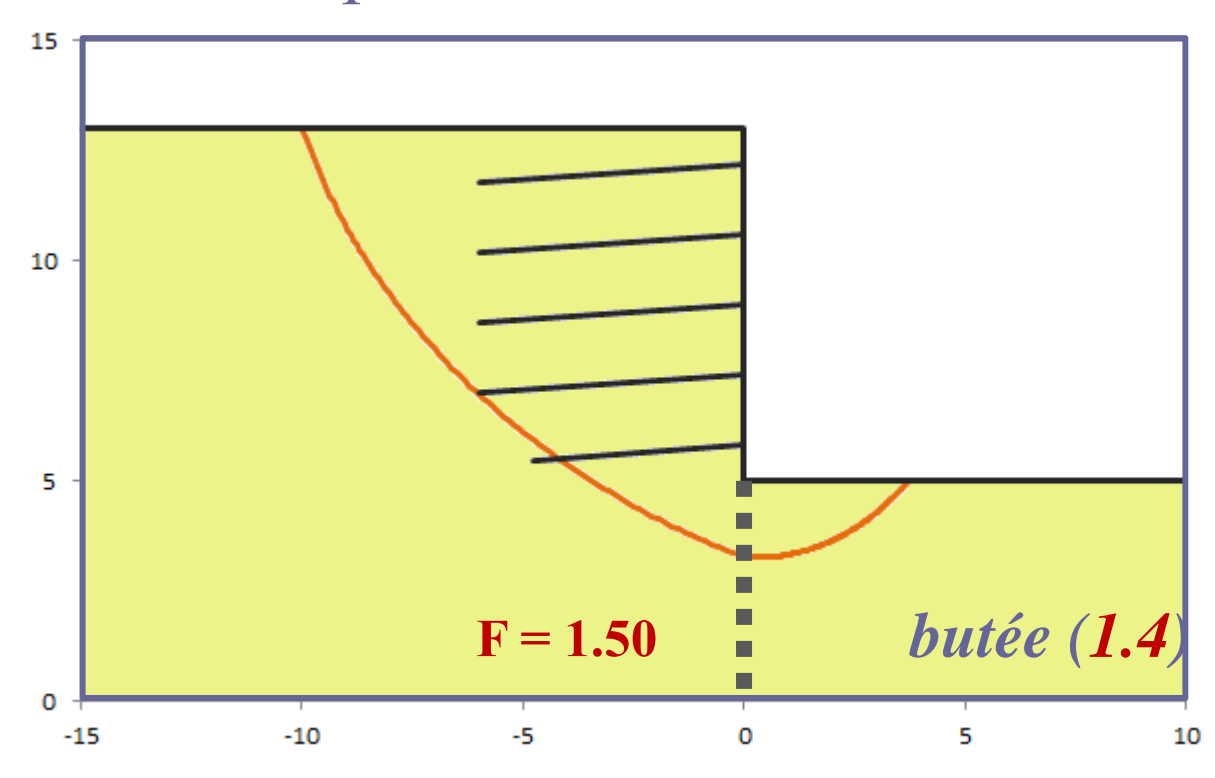


- Approche simplifiée (norme NF P 94 270)
 - décomposition en deux secteurs





- Approche simplifiée (norme NF P 94 270)
 - décomposition en deux secteurs

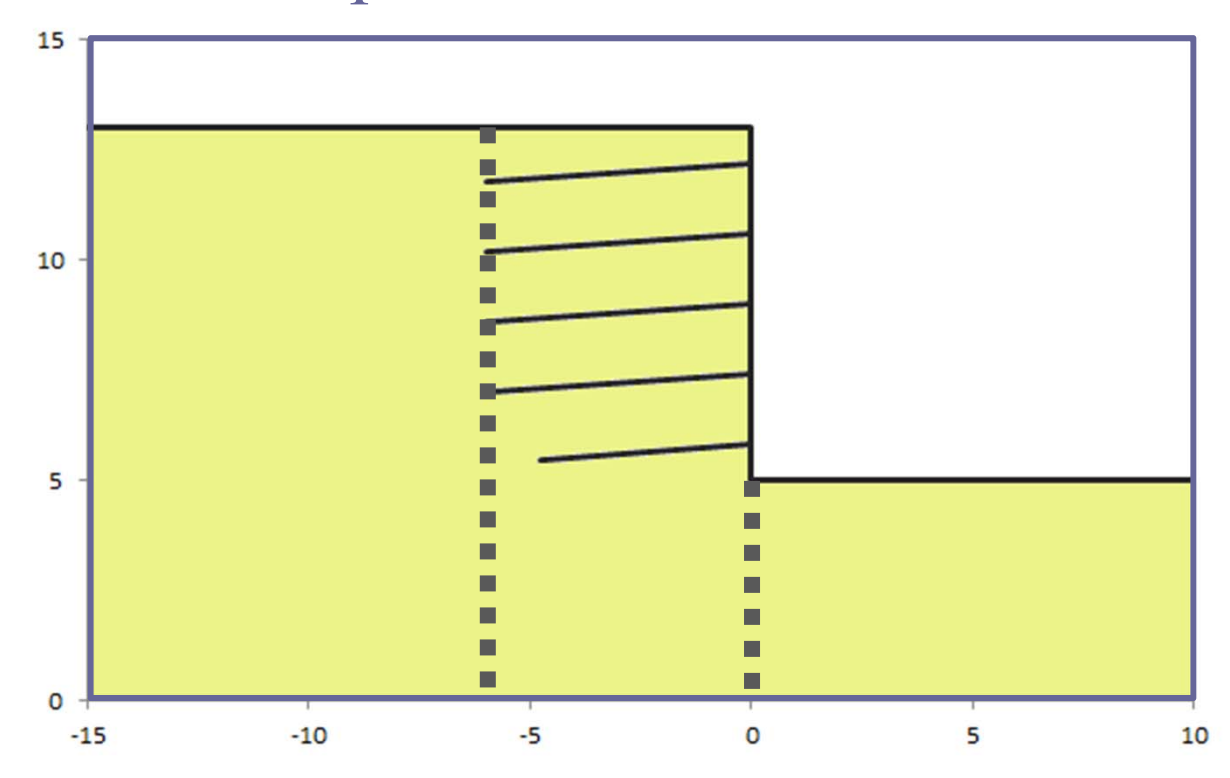


Sol

- $\phi = 33^{\circ}$
- c = 4 kPa
- $\gamma = 20 \text{ kN/m}^3$

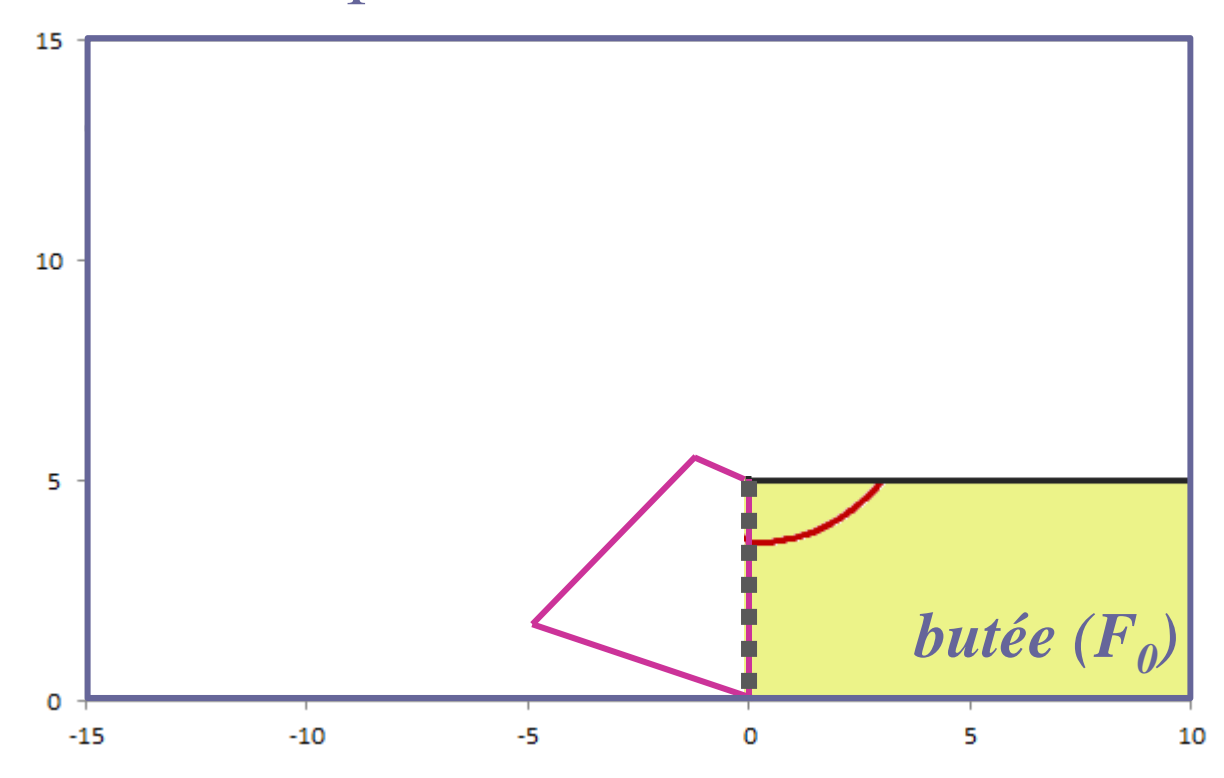
- $\bullet \quad N_{\text{max}} = 402 \text{ kN}$
- Forage 120 mm
- $\alpha = 4^{\circ}$
- $S_h = 2.9 \text{ m}$

- Approche simplifiée (norme NF P 94 270)
 - décomposition en trois secteurs



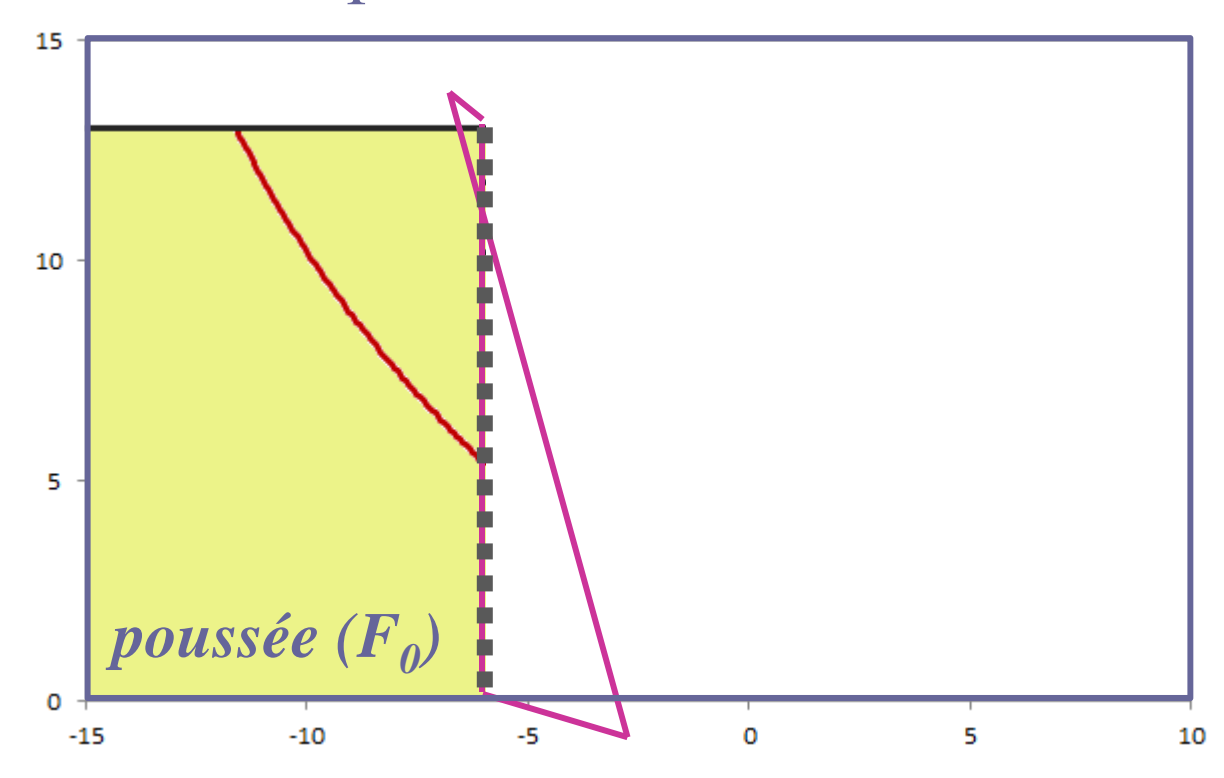


- Approche simplifiée (norme NF P 94 270)
 - décomposition en trois secteurs



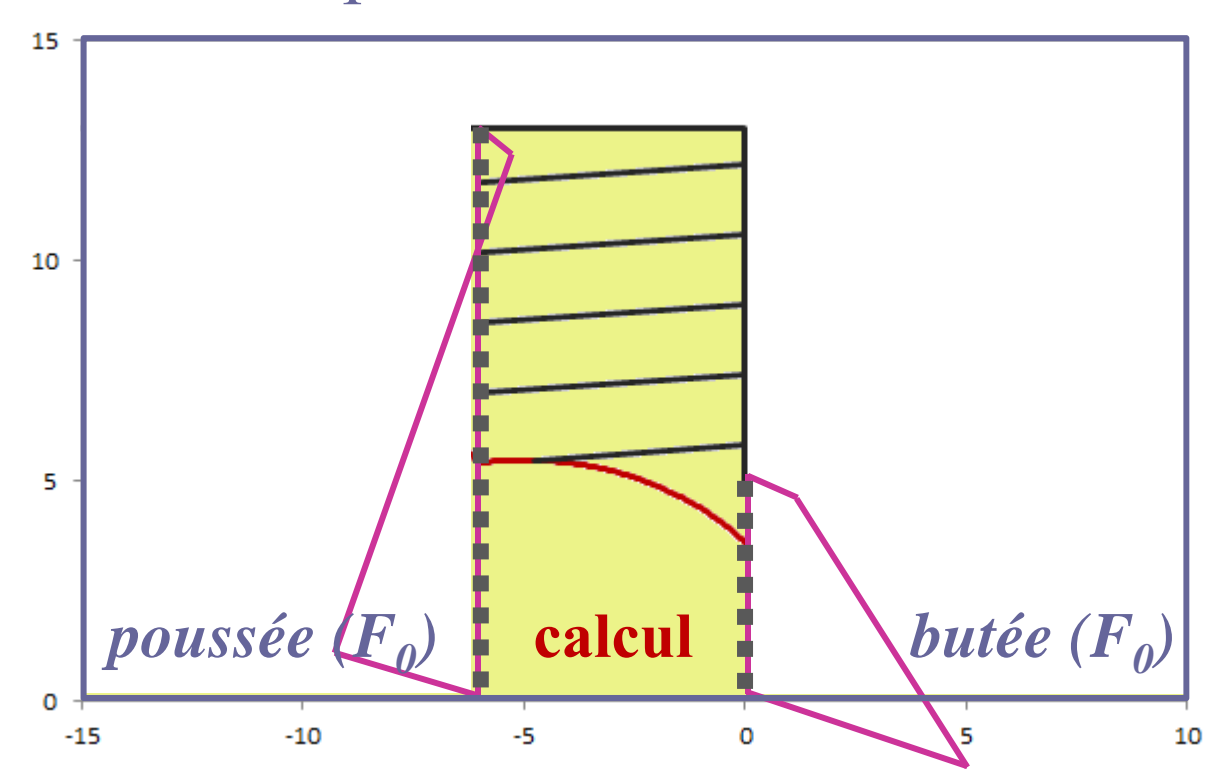


- Approche simplifiée (norme NF P 94 270)
 - décomposition en trois secteurs



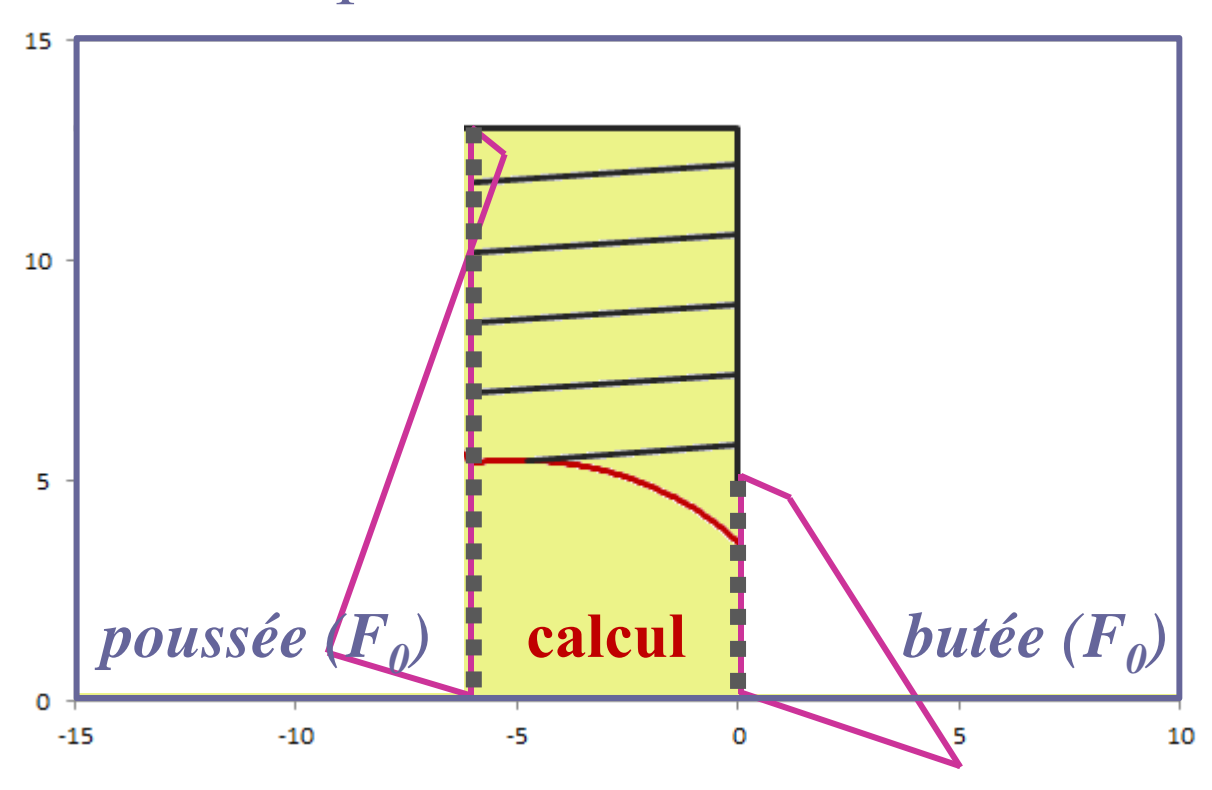


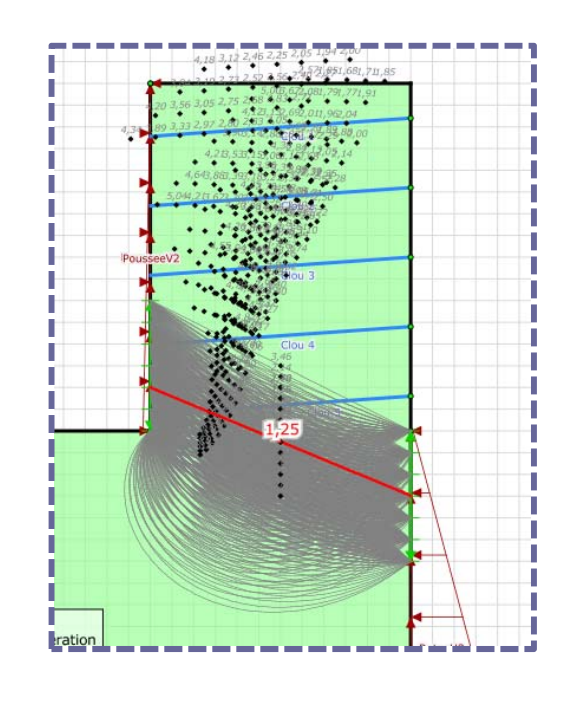
- Approche simplifiée (norme NF P 94 270)
 - décomposition en trois secteurs





- Approche simplifiée (norme NF P 94 270)
 - décomposition en trois secteurs

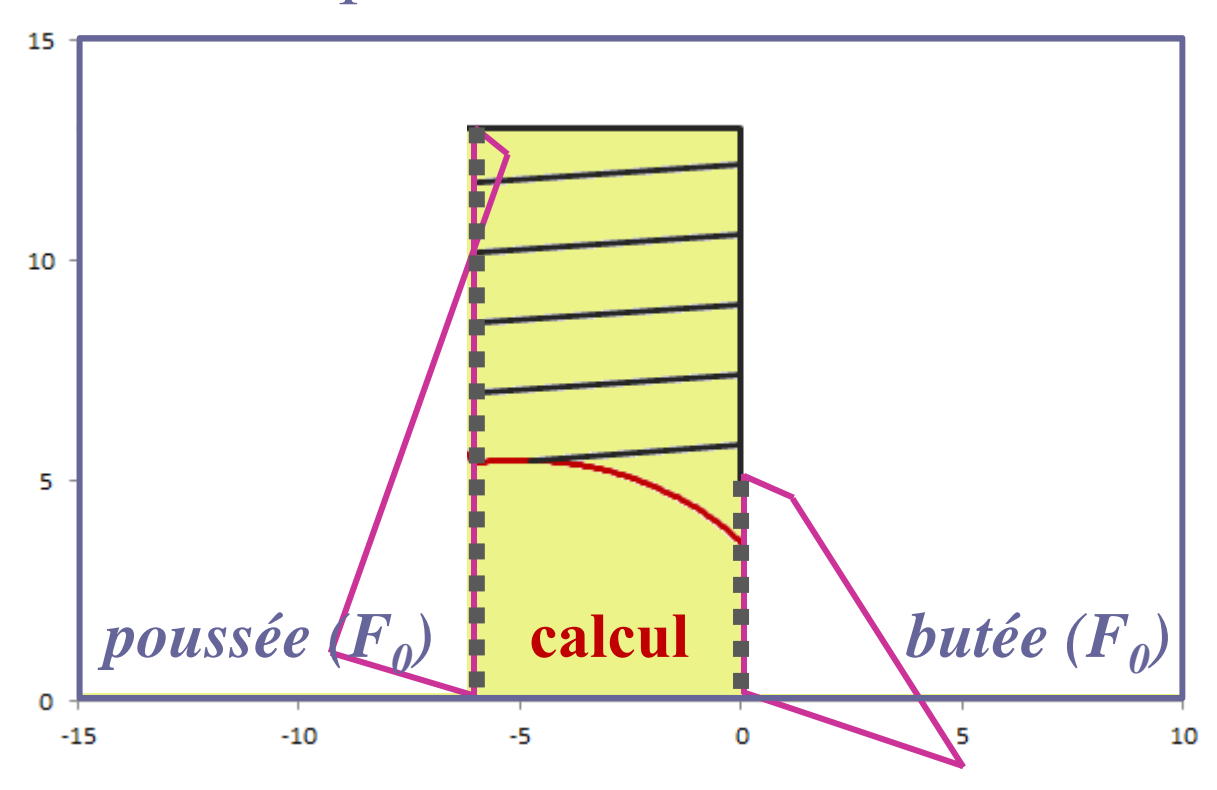


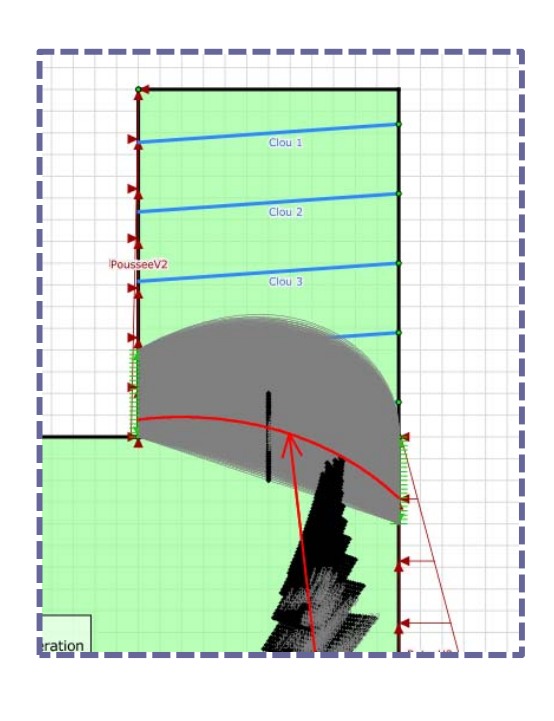


pôles supérieurs



- Approche simplifiée (norme NF P 94 270)
 - décomposition en trois secteurs

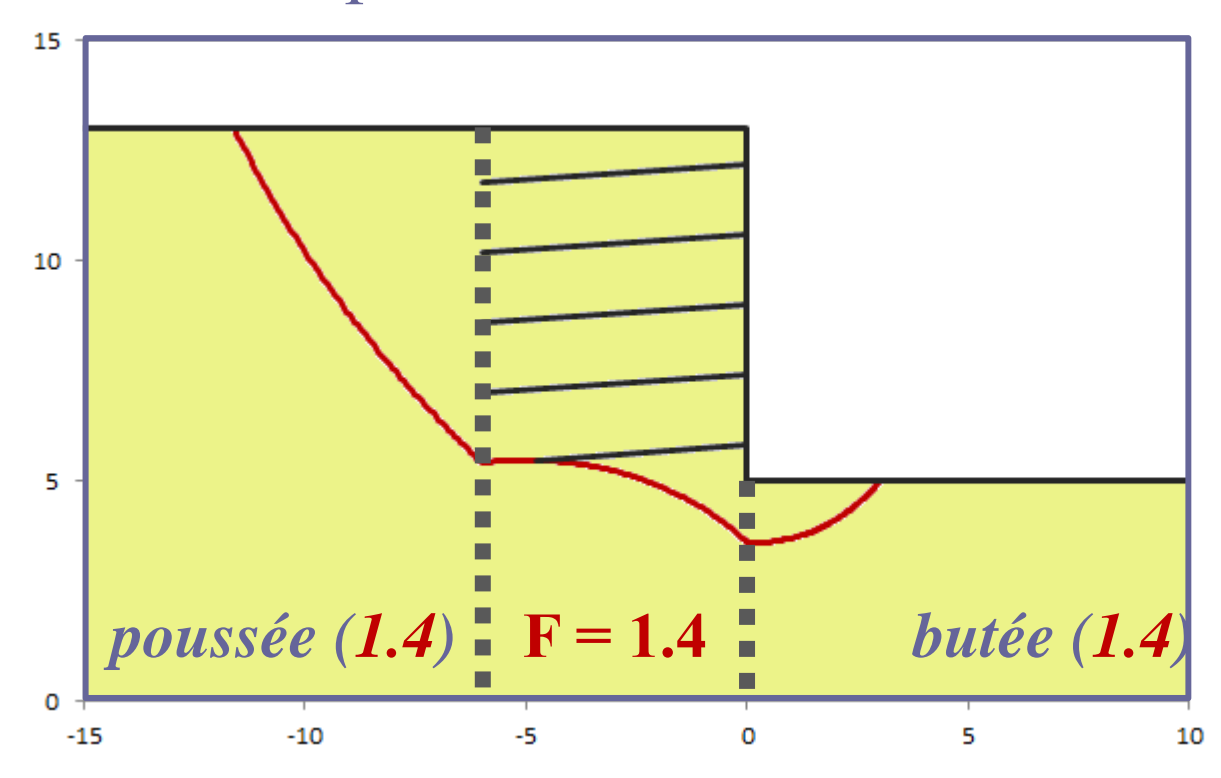




pôles inférieurs



- Approche simplifiée (norme NF P 94 270)
 - décomposition en trois secteurs

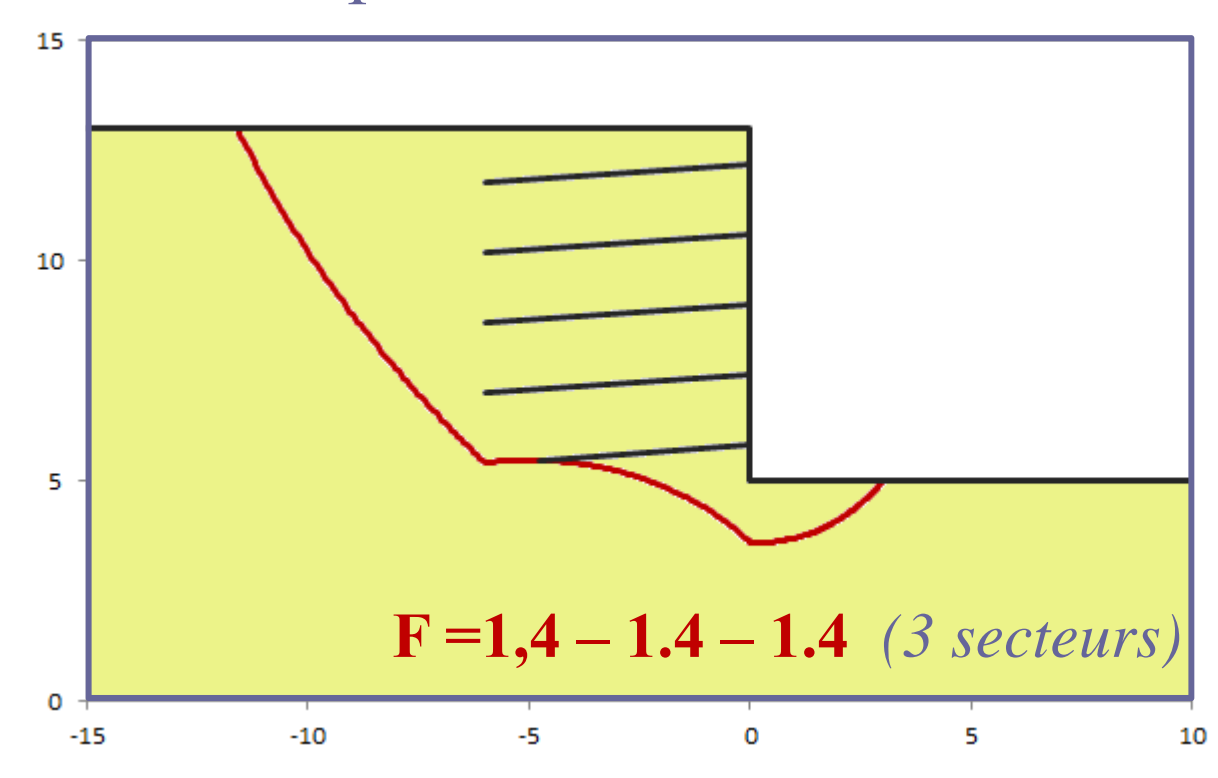


Sol

- $\phi = 33^{\circ}$
- c = 4 kPa
- $\gamma = 20 \text{ kN/m}^3$

- $N_{\text{max}} = 402 \text{ kN}$
- Forage 120 mm
- $\alpha = 4^{\circ}$
- $S_h = 2.9 \text{ m}$

- Approche simplifiée (norme NF P 94 270)
 - décomposition en secteurs

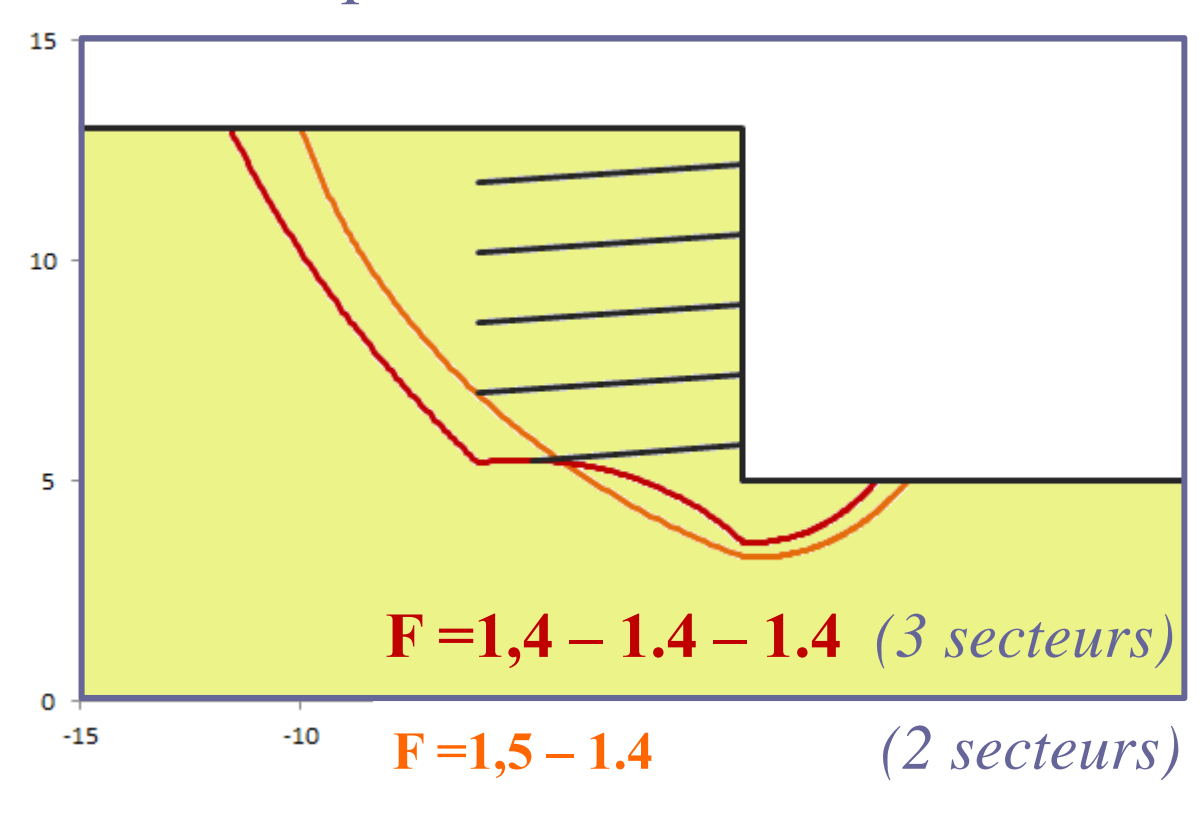


Sol

- $\phi = 33^{\circ}$
- c = 4 kPa
- $\gamma = 20 \text{ kN/m}^3$

- $\bullet \quad N_{\text{max}} = 402 \text{ kN}$
- Forage 120 mm
- $\alpha = 4^{\circ}$
- $S_h = 2.9 \text{ m}$

- Approche simplifiée (norme NF P 94 270)
 - décomposition en secteurs

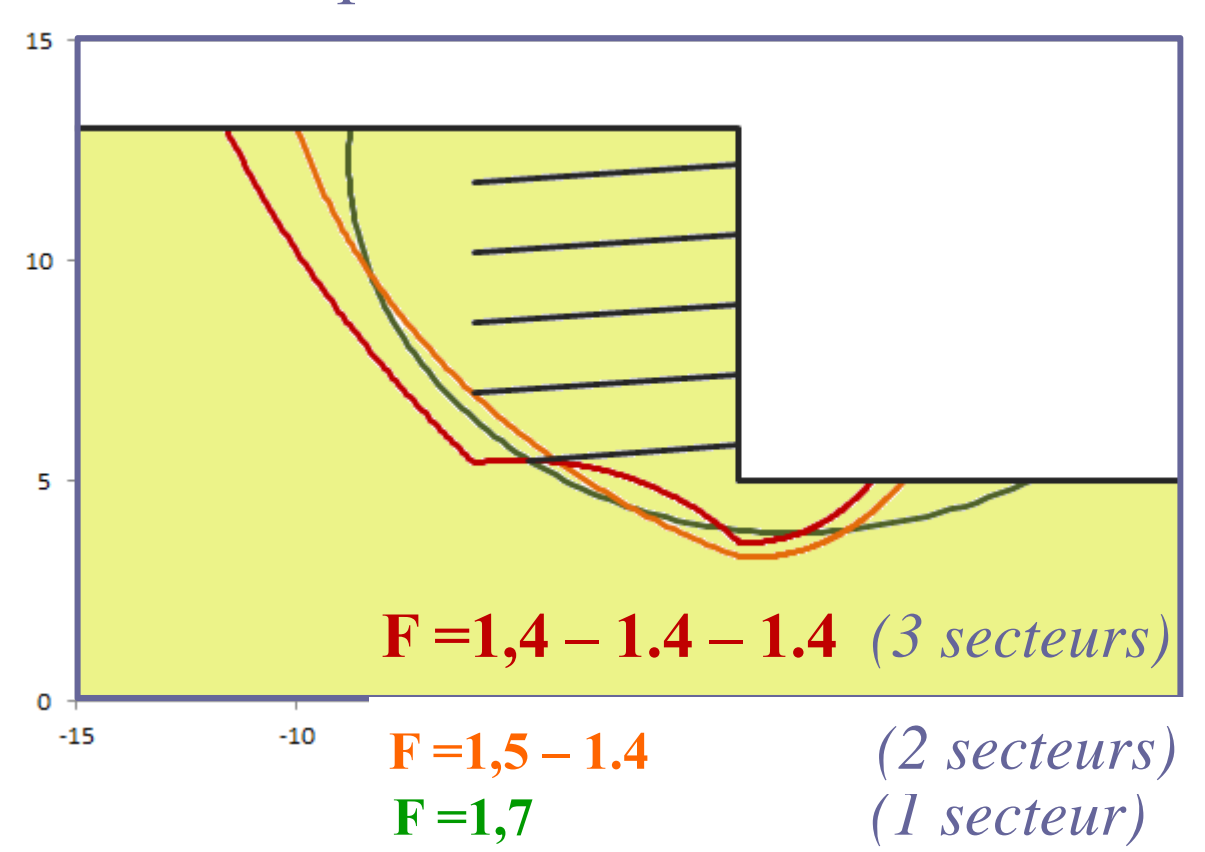


Sol

- $\phi = 33^{\circ}$
- c = 4 kPa
- $\gamma = 20 \text{ kN/m}^3$

- $N_{max} = 402 \text{ kN}$
- Forage 120 mm
- $\alpha = 4^{\circ}$
- $S_h = 2.9 \text{ m}$

- Approche simplifiée (norme NF P 94 270)
 - décomposition en secteurs



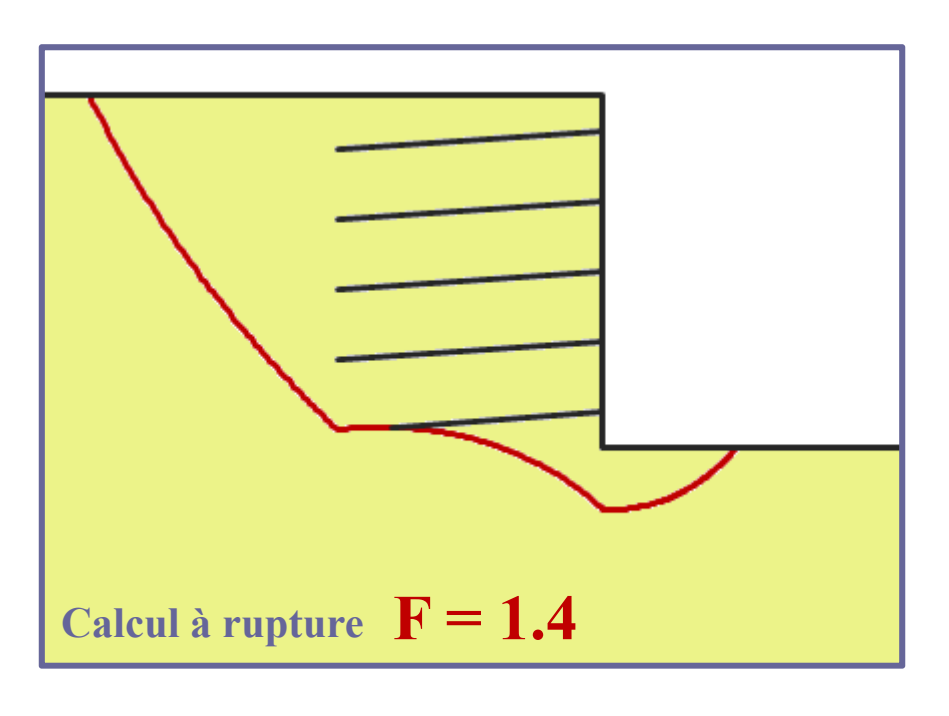
Sol

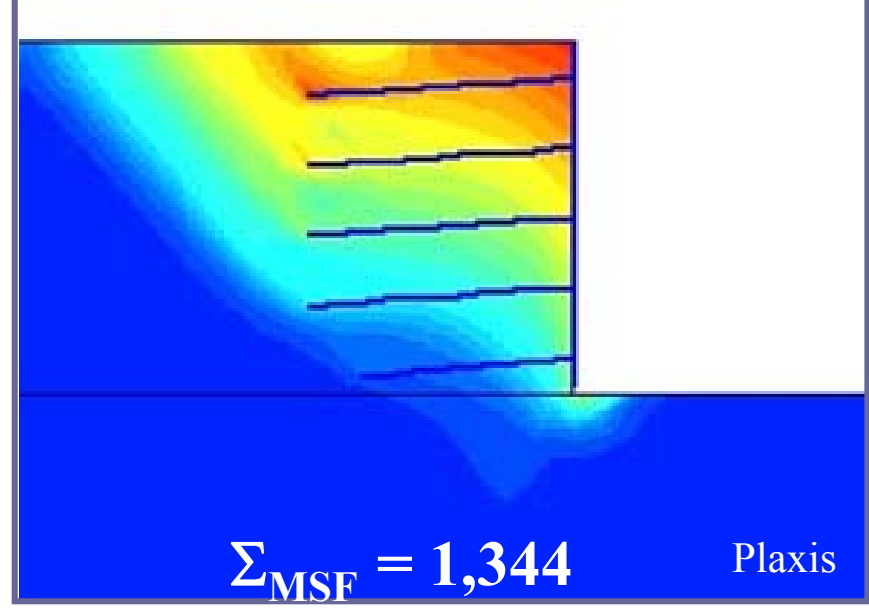
- $\phi = 33^{\circ}$
- c = 4 kPa
- $\gamma = 20 \text{ kN/m}^3$

- $N_{max} = 402 \text{ kN}$
- Forage 120 mm
- $\alpha = 4^{\circ}$
- $S_h = 2.9 \text{ m}$

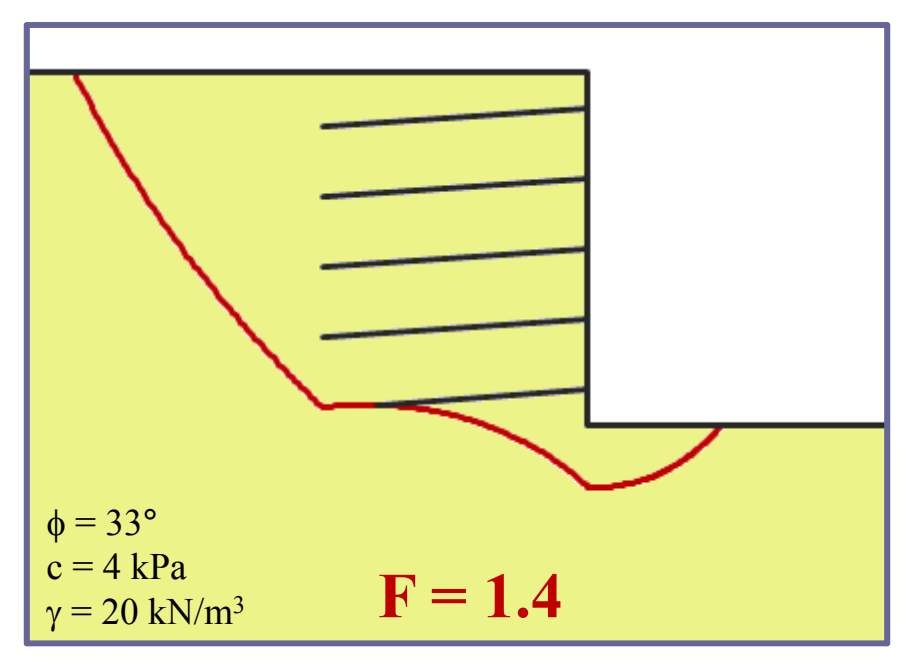


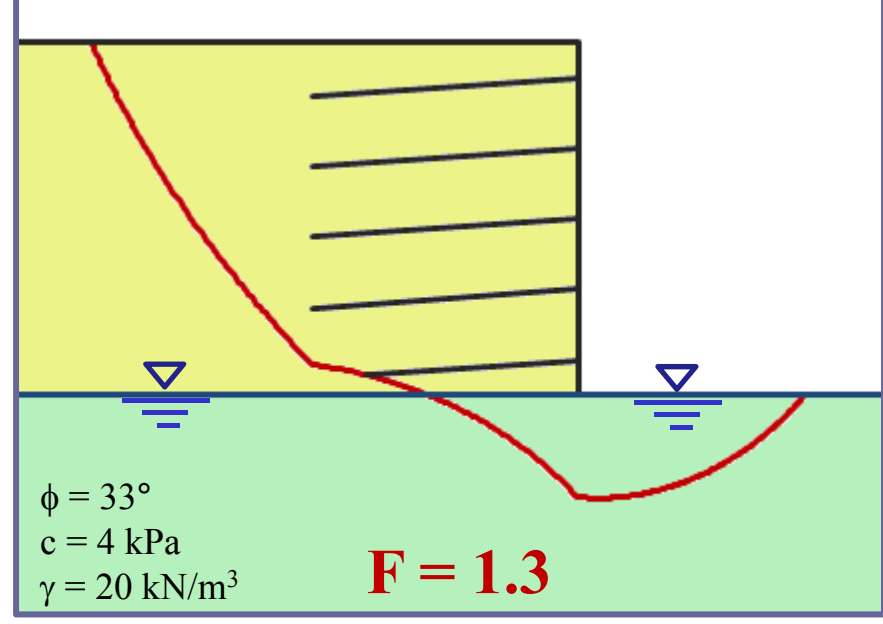
Comparaison avec calcul éléments finis





- Influence d'une nappe au pied du massif cloué
 - Décomposition en 3 secteurs





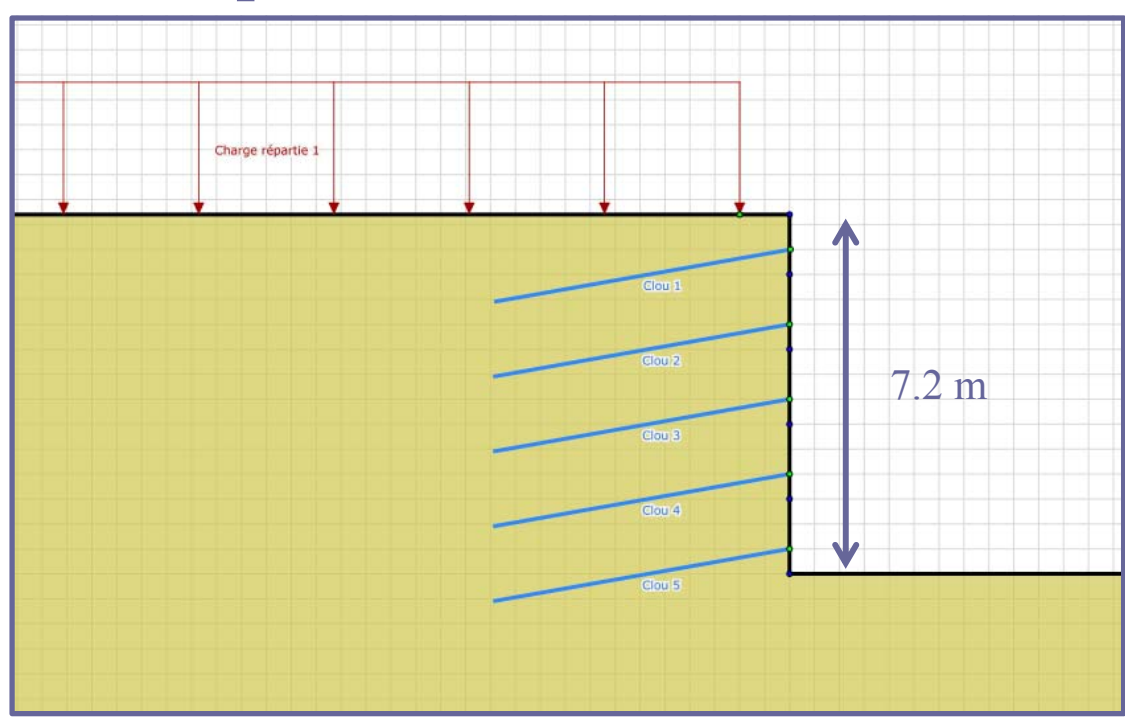


Trois applications aux sols cloués

- Appliquer correctement le multicritère
- Intégrer l'influence de la fondation
- Evaluer les efforts au parement



- Selon recommandations Clouterre 1991
 - À partir des tractions limites mobilisées à rupture



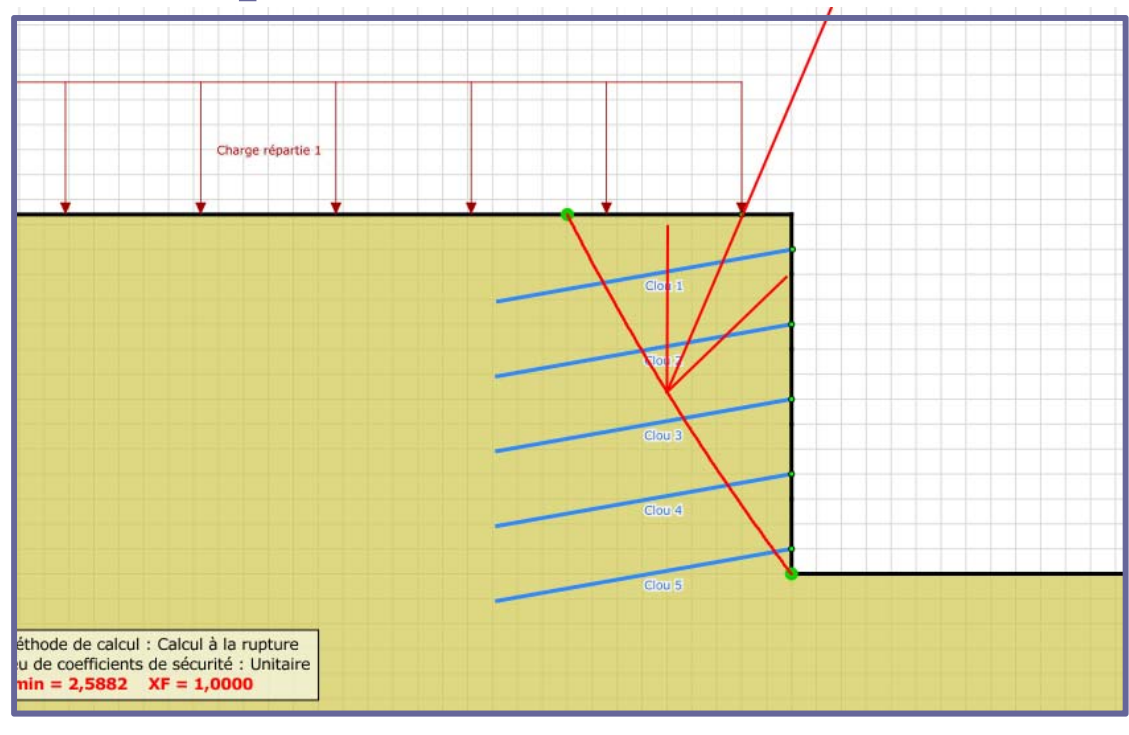
Sol

- $\phi = 35^{\circ}$
- c = 5 kPa
- $\gamma = 19 \text{ kN/m}^3$

Clous HA32 ($\sigma_e = 500 \text{ MPa}$)

- L = 6 m
- Forage 100 mm
- $\alpha = 10^{\circ}$
- $S_h = 2 \text{ m}$

- Selon recommandations Clouterre 1991
 - À partir des tractions limites mobilisées à rupture



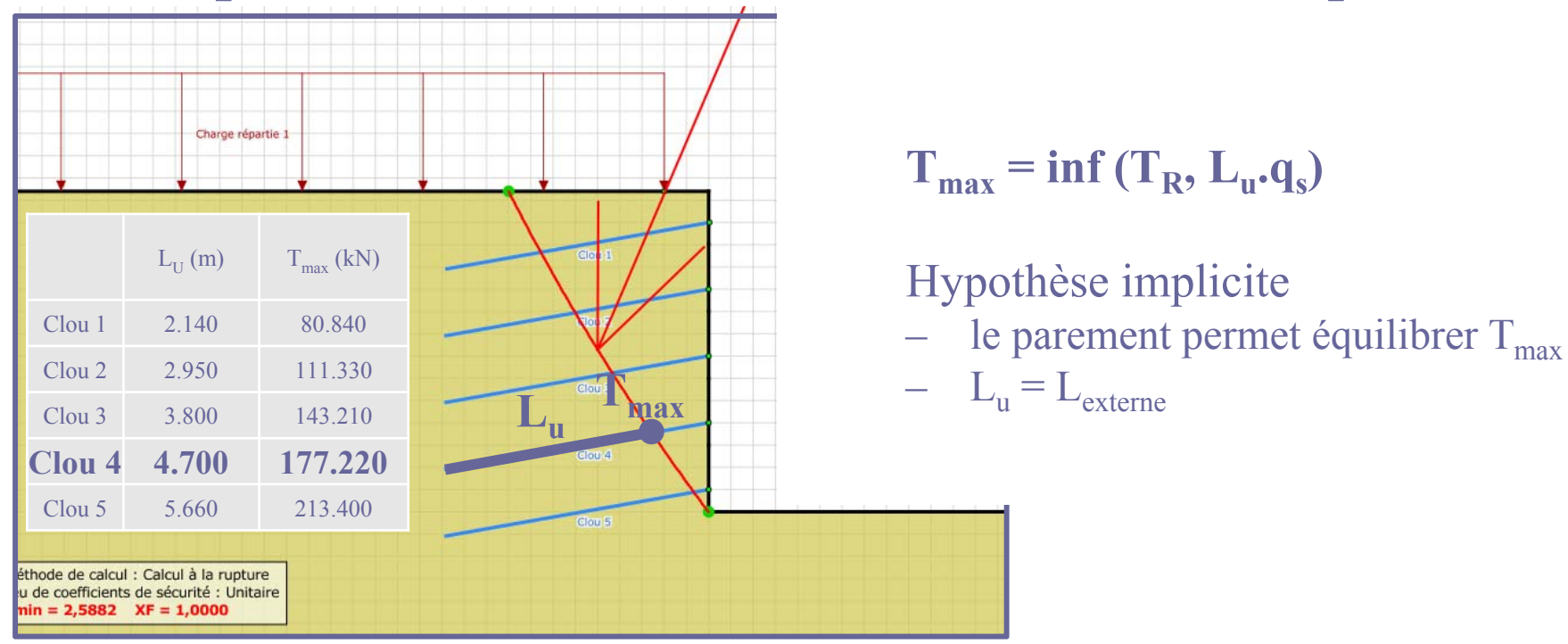
Sol

- $\phi = 35^{\circ}$
- c = 5 kPa
- $\gamma = 19 \text{ kN/m}^3$

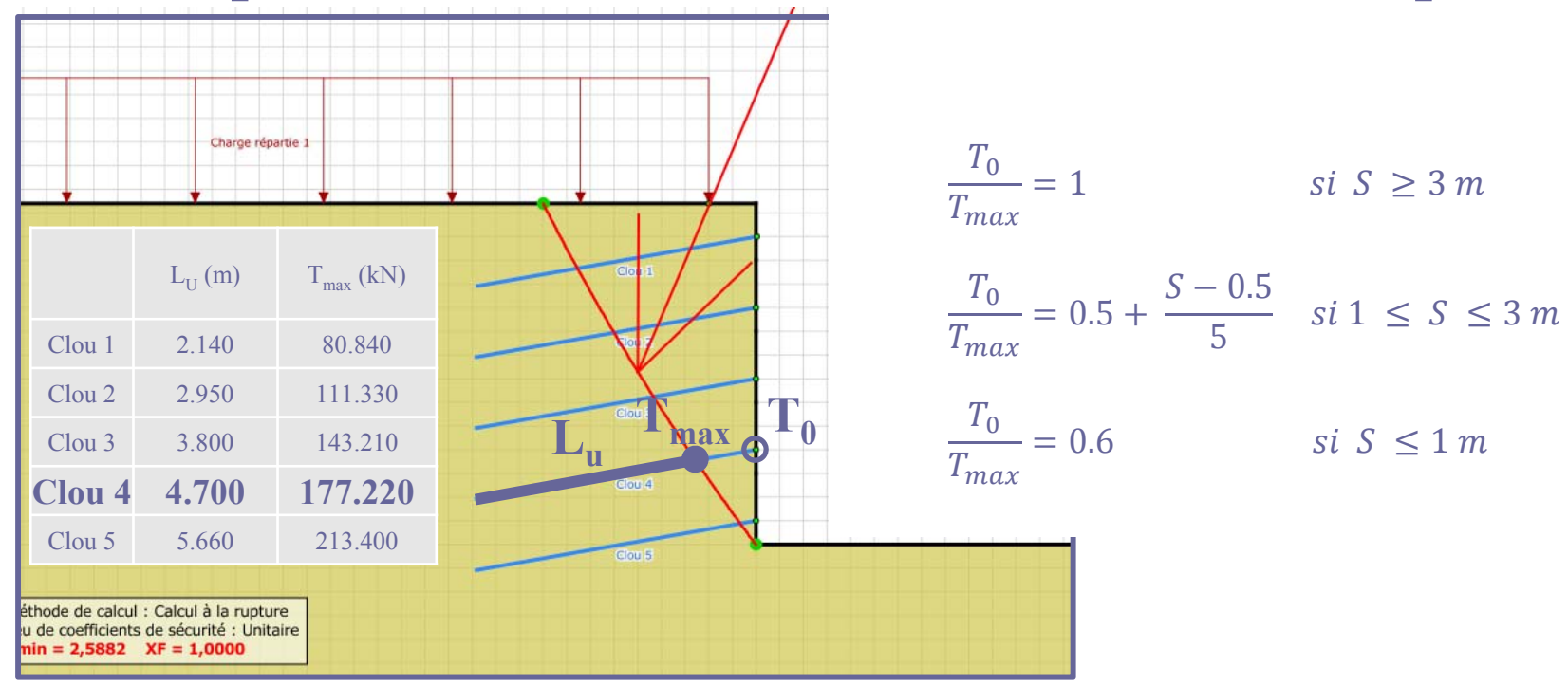
Clous HA32 ($\sigma_e = 500 \text{ MPa}$)

- L = 6 m
- Forage 100 mm
- $\alpha = 10^{\circ}$
- $S_h = 2 \text{ m}$

- Selon recommandations Clouterre 1991
 - À partir des tractions limites mobilisées à rupture

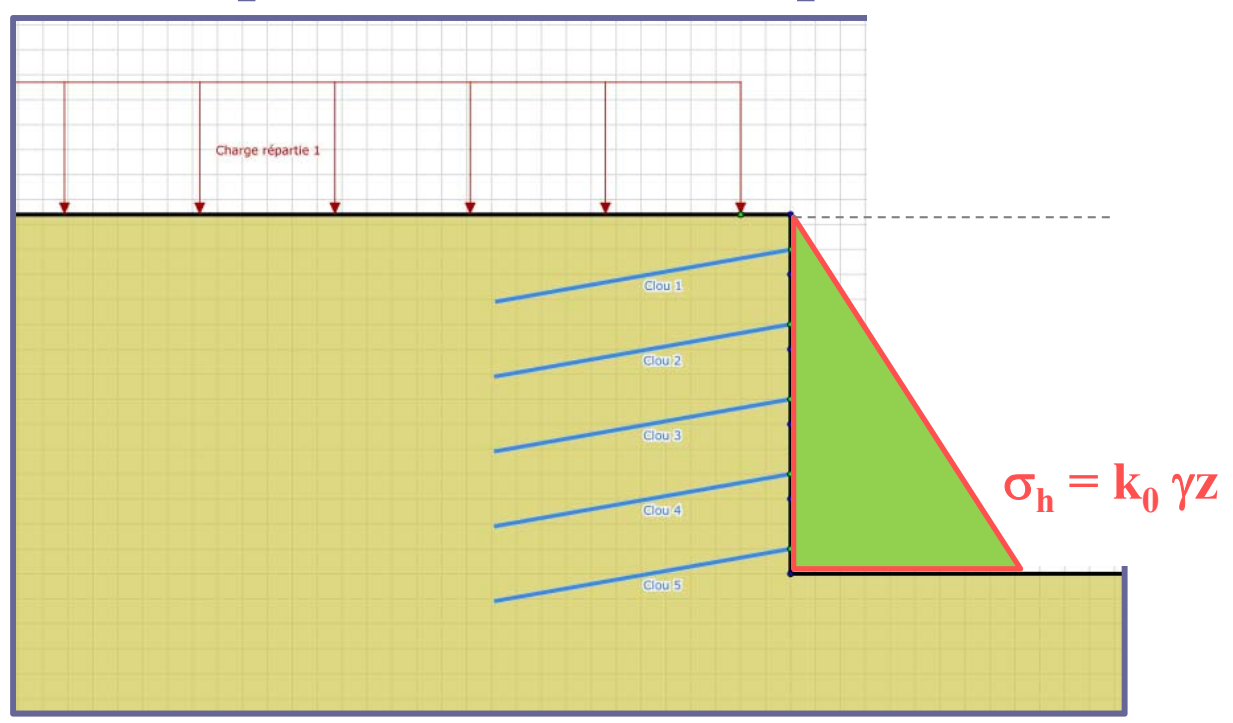


- Selon recommandations Clouterre 1991
 - À partir des tractions limites mobilisées à rupture



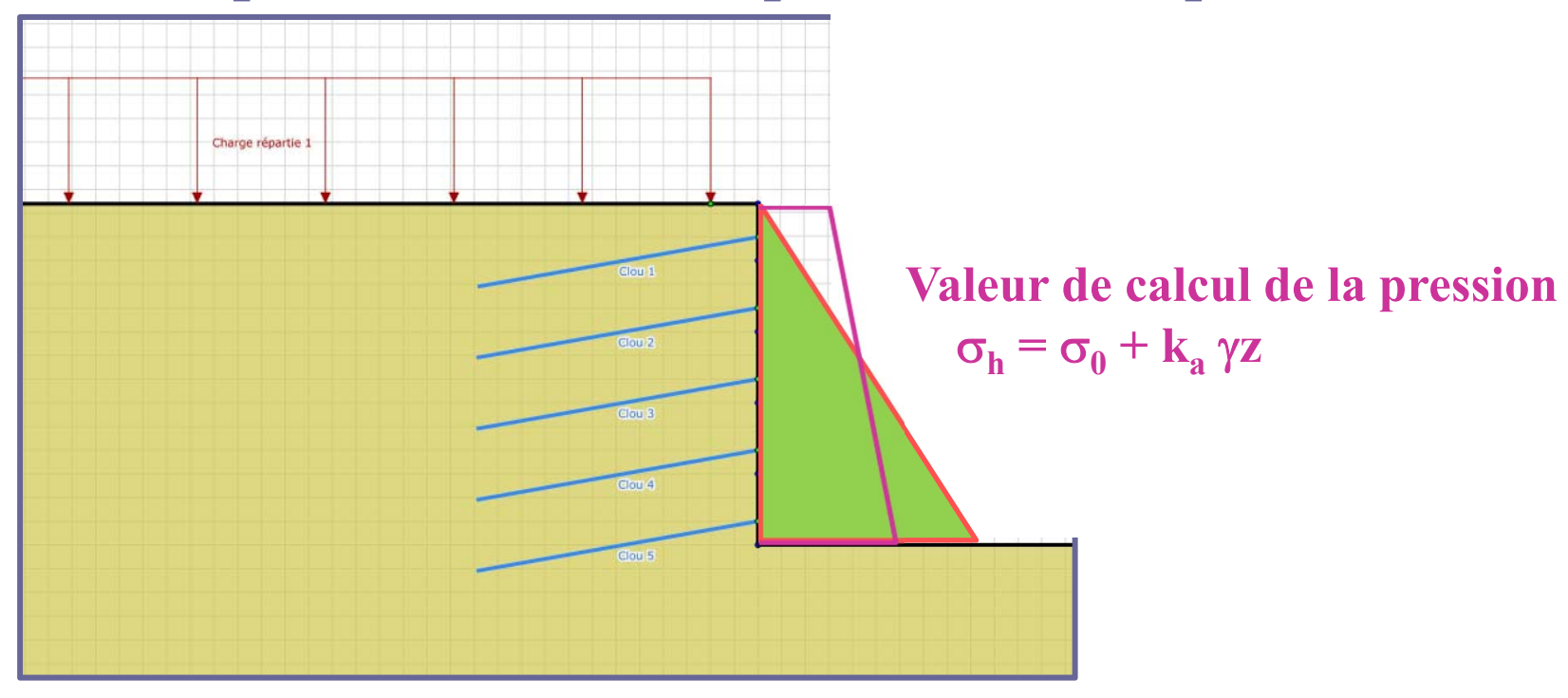
...les efforts du parement augmentent si les clous sont allongés!

- Selon norme NF P 94 270 (2009)
 - À partir de l'état des pressions au repos





- Selon norme NF P 94 270 (2009)
 - À partir de l'état des pressions au repos

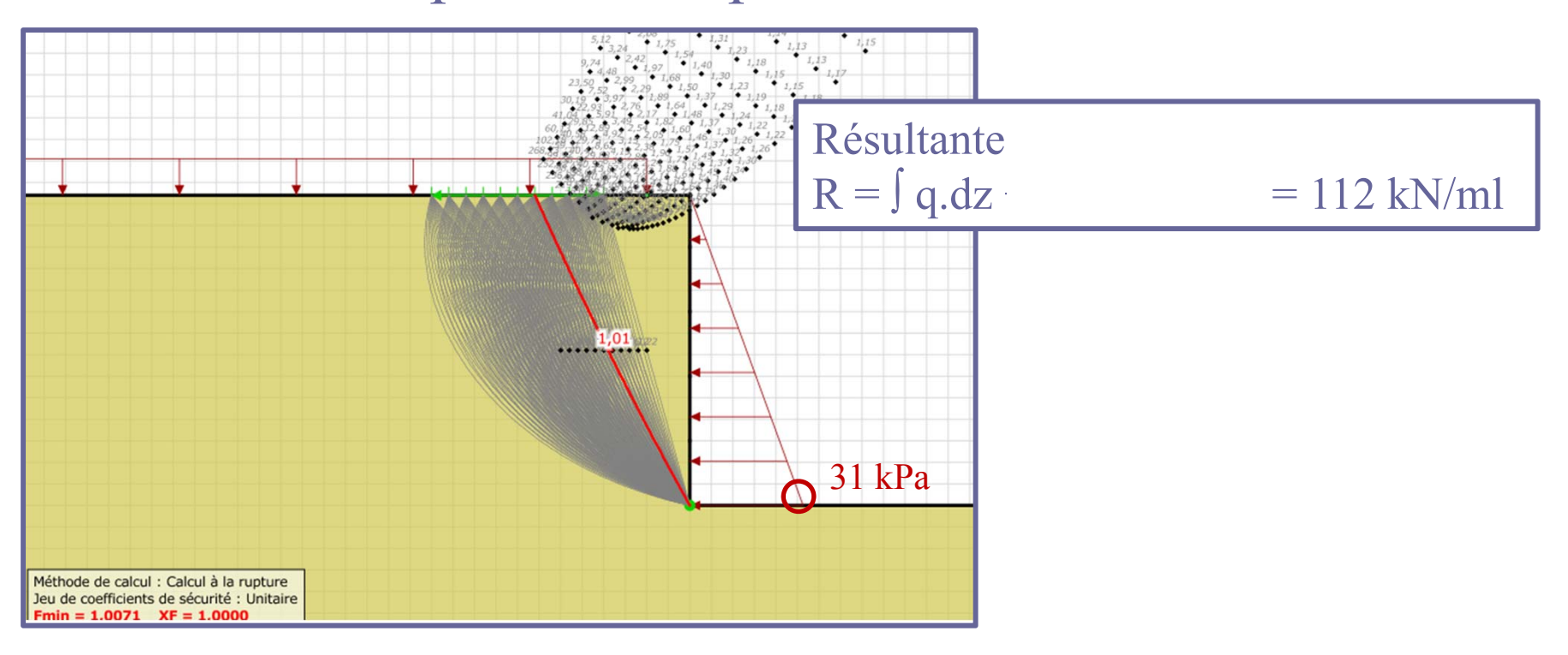


...ignore le cisaillement mobilisé sous le massif cloué!

...application pratique délicate (stratification, inclinaison parement..)

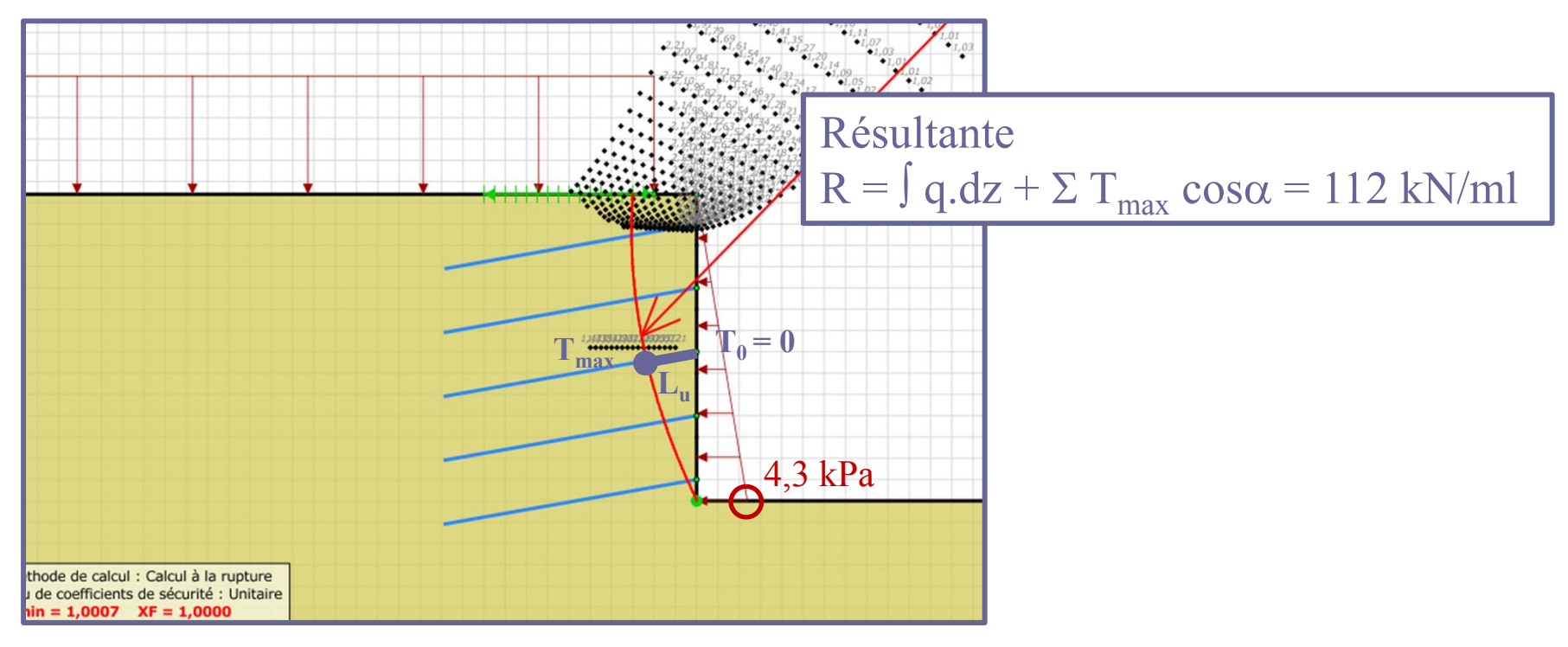


- Avec la méthode cinématique du calcul à la rupture
 - Clous non pris en compte



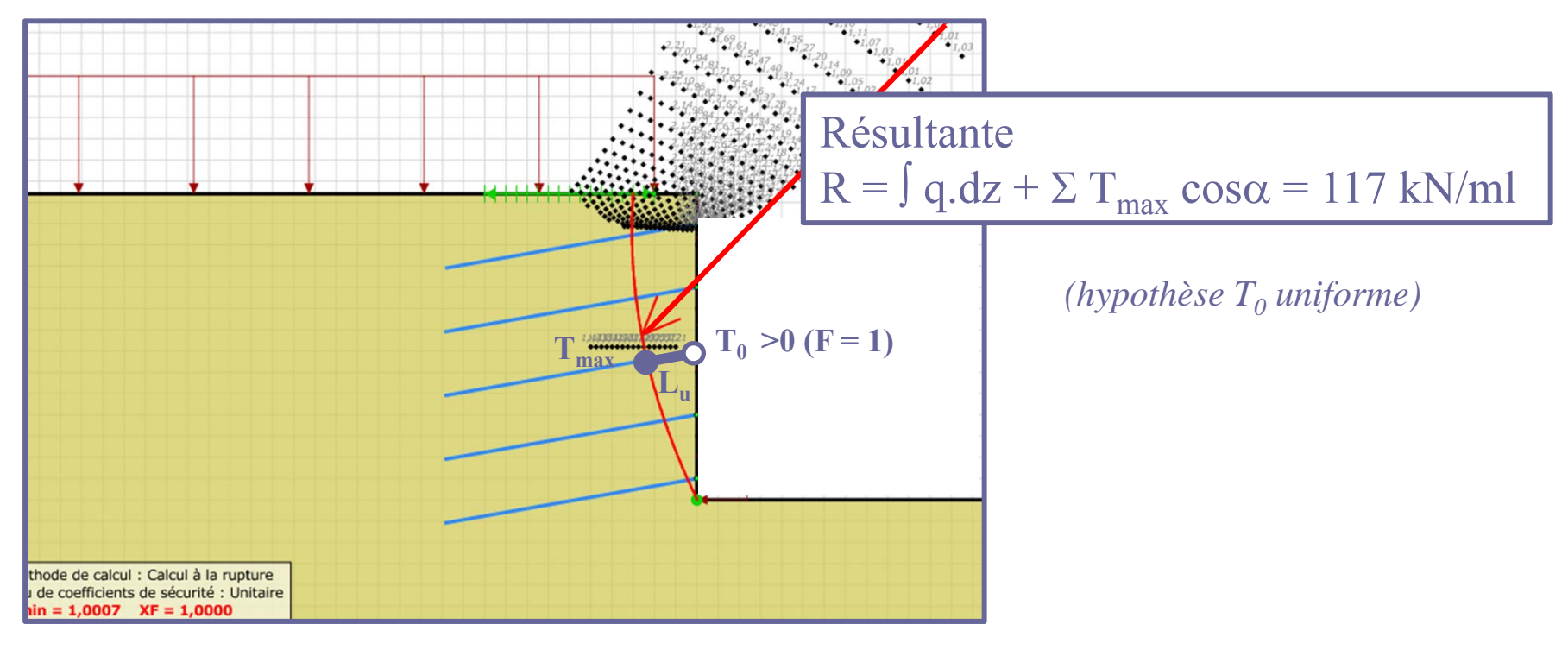


- Avec la méthode cinématique du calcul à la rupture
 - Clous pris en compte : min(T_{interne},T_{externe})





- Avec la méthode cinématique du calcul à la rupture
 - Clous pris en compte : min(T_{interne},T_{externe})

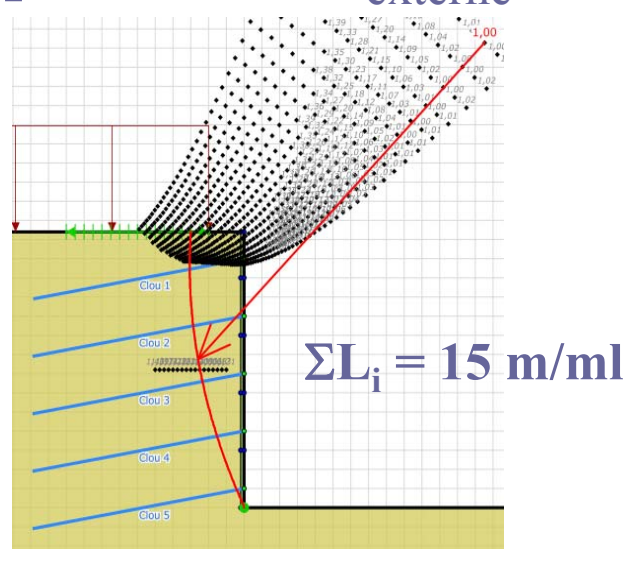




- Avec la méthode cinématique du calcul à la rupture
 - Démarche proposée
 - Calcul systématique avec min(T_{interne},T_{externe})
 - Introduire effort T₀ en tête des clous
 - Avec ou sans hypothèse de redistribution sur clous supérieurs
 - Ajuster valeurs T_0 en tête des clous pour obtenir F = 1
 - Le parement est dimensionné pour ces efforts T₀



- Optimisation efforts clous / efforts parement
 - Lorsque critère T_{externe} redevient dimensionnant



	$\begin{array}{cccccccccccccccccccccccccccccccccccc$	00 1,01 1,04 03
	100 men 100 m. 1	
Cont		
Cou ₂	$\Sigma L_i = 9$,5 m/ml
Glou - Glou - Glou -		

	L (m)	T0 imposé (kN)	Tmax (kN)
Clou 1	6	12.3	67.0
Clou 2	6	12.3	63.0
Clou 3	6	12.3	53.0
Clou 4	6	12.3	37.4
Clou 5	6	12.3	16.2

	L (m)	T0 imposé (kN)	Tmax (kN)
Clou 1	5	12.3	66,8
Clou 2	5	12.3	63.3
Clou 3	4	12.3	53.3
Clou 4	3	12.3	37.5
Clou 5	2	12.3	16.4



CONCLUSION (1)

• Le calcul à la rupture

- une approche rigoureuse de la stabilité des ouvrages géotechniques
- un outil pratique pour l'ingénieur géotechnicien en charge du dimensionnement des ouvrages en sol cloué
 - évaluer les méthodes de dimensionnement existantes
 - mieux approcher les mécanismes de ruine
 - contribuer à l'optimisation des ouvrages

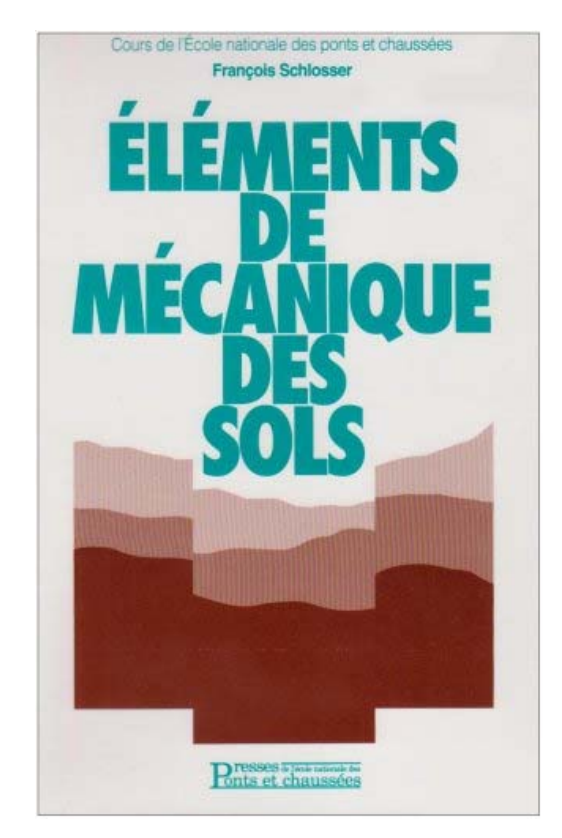


CONCLUSION (2)

• L'art de l'ingénieur...

1972 - 1973





.... et sens pratique



